

VYSOKÁ ŠKOLA STROJNÍ A TEXTILNÍ V LIBERCI  
NOSITELKA ŘADU PRÁCE  
FAKULTA TEXTILNÍ

OBOR 31 - 12 - 8

TECHNOLOGIE TEXTILU A ODĚVNICTVÍ  
KATEDRA TEXTILNÍCH MATERIÁLŮ A PŘADELNICTVÍ

ZJIŠTOVÁNÍ IZOLAČNÍCH VLASTNOSTÍ PLOŠNÝCH ÚTVARŮ OBSAHUJÍCICH  
SPECIÁLNÍ POLYPROPYLENOVÁ VLÁKNA

Jana GABČÍKOVÁ

KMP-005

Vedoucí práce: Ing. Jana HYNČICOVÁ, KMP

ROZSAH PRÁCE A PŘÍLOH:

počet strán - 80

počet příloh - 17

počet tabulek - 17

počet obrázku - 4

V Liberci dne 11. 5. 1987

vysoká škola: České vystavění v Liberci Fakulta: textilní  
Katedra: textilních materiálů Školní rok: 1986/1987  
a přádelnické

# ZADÁNÍ DIPLOMOVÉ PRÁCE

(PROJEKTU, UMĚLECKÉHO DÍLA, UMĚLECKÉHO VÝKONU)

pro Janu Gabčíkovou

obor 31 - 12 - 8 technologie textilu a oděvnictví

Vedoucí katedry Vám ve smyslu nařízení vlády ČSSR č. 90/1980 Sb., o státních závěrečných zkouškách a státních rigorózních zkouškách, určuje tuto diplomovou práci:

Název tématu: Zjištování izolačních vlastností plošných útvarů obsahujících speciální polypropylenová vlákna.

### Zásady pro vypracování:

1. Specifikace používaných polypropylenových vláken.
2. Přehled používaných metodik na zjištování izolačních vlastností plošných útvarů.
3. Výběr vhodné metody a zjištění izolačních vlastností u vybraných vrstvených izolačních textilií obsahujících speciální polypropylenová vlákna.

V 248/87 T

VYŠOKÁ ŠKOLA STROJNÍ A TEXTILNÍ  
Ústřední knihovna  
LIBEREC 1, STUDENTSKÁ 6  
PSČ 461 17

1.0 VŠEOBECNÁ ČASŤ

|   |     |
|---|-----|
| 1.1 Úvodný list .....                         | 1   |
| 1.2 Zadanie DP .....                          | 2   |
| 1.3 Miestoprísážne prehlásenie.....           | 3   |
| 1.4 Podávanie .....                           | 4   |
| 1.5 Obsah.....                                | 5-6 |
| 1.6 Zoznam použitých skratiek a symbolov..... | 7   |

2.0 ÚVOD ..... 8-9

2.1. Tézy diplomovej práce ..... 10

3.0 TEORETICKÁ ČASŤ ..... 11

3.1. Fyzikálna podstata šírenia zvuku v tu-  
hom telese ..... 11-13

3.1.1 Rýchlosť zvuku vo vlákne a pred-  
poklady zvukovej polhtivosti..... 13-15

3.1.2 Využitie zvuku na stanovenie fy-  
zikálnej charakteristiky vlákna .... 15-17

3.2 Fyzikálna podstata šírenia tepla v tuhom  
telese..... 18-19

3.2.1 Prestup tepla a tepelná vodivost' vo  
vláknach ..... 20-21

3.3 Kvalitatívne predpoklady textilných vlákien  
pre zvukovú a tepelnú izoláciu ..... 21-25

3.3.1 Špeciálne typy textilných vlákien pre  
tepelné a zvukové izolácie ..... 25-27

4.0. EXPERIMENTÁLNA ČASŤ ..... 28

4.1 Základné experimentálne materiály a ich  
príprava

|   |       |
|---|-------|
| 4.1.1 Technológia prípravy izolačných materiálov zo špeciálnych POP vlákien .....       | 32-1  |
| 4.2 Metodická časť .....  | 34    |
| 4.2.1 Stanovenie základných parametrov textilných vlákien a izolačných materiálov ..... | 34-3  |
| 4.2.2 Stanovenie rýchlosi šírenia zvuku vo vláknoch .....                               | 39-4  |
| 4.2.3 Metóda stanovenia zvukovej pohltivosti textilných materiálov .....                | 43-4  |
| 4.2.4 Metódy merania tepelnej vodivosti plošných textilií .....                         | 46-51 |
| 4.2.5 Metódy merania teplotnej vodivosti plošných textilií .....                        | 51-52 |
| 4.2.6 Metóda súčastného merania tepelnej a teplotnej vodivosti .....                    | 53-56 |
| 4.3 Podmienky experimentov a dosiahnuté výsledky pri meraní zvukovej pohltivosti .....  | 57-63 |
| 4.3.1 Diskusia výsledkov z merania zvukovej pohltivosti .....                           | 64-66 |
| 4.4 Podmienky experimentov a dosiahnuté výsledky pri meraní tepelnej vodivosti .....    | 66-72 |
| 4.4.1 Diskusia výsledkov z merania tepelnej vodivosti .....                             | 73-74 |
| 5.0 ZÁVER .....   | 75-76 |
| 6.0 Literatúra .....  | 77-80 |

1.6 Zoznam použitých skratiek a symbolov

---

|        |   |                               |
|--------|---|-------------------------------|
| POPs   | - | polypropylénová striž         |
| PES    | - | polyester                     |
| vz.    | - | vzorka                        |
| obr.   | - | obrázok                       |
| tab.   | - | tabuľka                       |
| č.     | - | číslo                         |
| D      | - | duté                          |
| AP     | - | anorganicky plnené            |
| PVC    | - | polyvinylchlorid              |
| NT     | - | netkané textílie              |
| konšt. | - | konštanta                     |
| VKFP   | - | variačný koeficient pevnosti  |
| VKT    | - | variačný koeficient t'ažnosti |
| kap.   | - | kapitola                      |

## 2.0 ÚVOD

Hlavnou príčinou štrukturálnych zmien v textilnom priemysle v posledných rokoch je stále širšie uplatňovanie syntetických vláken.

Na sklonku päťdesiatych rokov sa prvýkrát objavili priemyslovo výrobené vlákna polypropylénové.

U nás sa od samého začiatku k problematike POP vláken pristupovalo systematicky a komplexne. Základňu preto vytvára komplexná výskumná úloha POLYPROPYLEN, do jeho riešenia boli zapojené pracoviská chemické, textilné a strojárenské. Riešila sa celá problematika tvorby základného polyméru, jeho zvlášťovanie, skúmali sa vlastnosti, spracovanie a použitie POP vláken.

Tieto snahy boli motivované jednak plánovanou rozsiahloou tuzemskou surovinovou základňou, jednak predpokladanou nízkou cenou týchto syntetických vláken, u ktorých sa predovšetkým zdôrazňovala malá objemová hmotnosť.

Do bytových textílií začal prenikat' polypropylén hneď v prvom období svojho vývoja. Musel pritom prekonávať t'ažkú konkurenciu vláken PAD, avšak na druhej strane k jeho širšiemu uplatneniu prispel intenzívny rozvoj výroby podlahových textílií. Predovšetkým vpichované podlahové textílie poskytli výbornú príležitosť k uplatneniu POP striže.

Čoraz viac sa POP vlákna začínajú používať pri výrobe technických textílií, hlavne v automobilom priemysle a v priemysle stavebníckom, polnohospodárstve /geotextílie a pod./, potravinárskej priemysle. V automobilovom priemysle k rýchlemu rozvoju došlo hlavne u podlahovín a sedadiel. Začiatkom 80. rokov bolo napr. vo Veľkej Británii asi 80 % textilných potahov na sedadlách. Sedadlo by malo zodpovedať požiadavkám, pri ktorých sa dosiahne transport vlhkosti pri potení povrchu tela. Dvere a bočné časti sú potiahnuté čalúnnickými materiálmi, ktoré znižujú i úrazovosť.

Textílie poskytujú príležitosť dosiahnuť odlišnosť a pohodlie. Hlavné druhý ukazovateľ sa stáva dôležitejším. Dnešná rôznorodosť bytového vybavenia sa odráža okrem iného i v štýle vybavenia interiéru dopravných prostriedkov.

XVII. zjazd KSČ stanovil pre textilný priemysel nemalé úlohy ako je zvyšovanie kvality a technickej úrovne výrobkov, zintenzívnenie inovácie sortimentu, obohatcovanie vnútorného trhu novinkami a luxusnými výrobkami ako i využitím výsledkov vedecko-technického pokroku zabezpečovaním uspokojovania rastúcich kvalitatívnych a kvantitatívnych potrieb spoločnosti pri zhodnocovaní a efektívnom využití energie a surovín z tuzemska.

Taktiež širšie uplatnenie syntetických vlákiens, v súčastnosti už aj špeciálneho charakteru, môže prispieť k zvýšeniu užitkovej a technickej úrovne výrobkov textilného priemyslu.

## 2.1 Tézy diplomovej práce

---

Z dostupných literárnych zdrojov vyplýva, že pre tepelnú a zvukovú izoláciu sa využívajú rôzne typy a sortimenty samotných textilných útvarov, resp. ich kombinácie s anorganickými a organickými látkami. Cieľom ich kombinácie je zlepšenie izolačných vlastností, prípadne vytvorenie takej makroštruktúry kompozitného izolačného materiálu, ktorá by tieto vlastnosti podstatne ovplyvnila. Základné tézy tejto diplomovej práce sledujú časť možnosti pre dosiahnutie týchto zmien. Predmetom diplomovej práce je overenie vplyvu rôznych typov vlákenných materiálov z toho istého polyméru - polypropylén TATREN 471 na izolačné vlastnosti v textíliach pripravených technológiou vpichovania za tých istých podmienok. Predpokladáme, že porovnaním dosiahnutých výsledkov s klasickými typmi vlákenných materiálov sa prejaví vplyv podielu špeciálne upravených vláken, dutých a anorganicky plnených, na zmenu izolačných vlastností textilne plošného útvaru.

Cieľom práce je preveriť možnosti zabudovania textilného rúna z týchto vlákenných materiálov do kompozitných izolačných materiálov.

### 3.0 TEORETICKÁ ČASŤ

#### 3.1 Fyzikálna podstata šírenia zvuku v tuhom telesе

---

Zvukom rozumieme usporiadany kmitavý pohyb molekúl, prenášaný pôsobením síl, ktorými na seba molekuly vzájomne pôsobia. Zvukom teda nazývame vlnenie molekúl.

Veľkosť zvukovej vlny záleží na okamžitých podmienkach prostredia /na tlaku, teplote a vlhkosti/. Rýchlosť šírenia týchto vín je definovaná ako rýchlosť zvuku s označením c.

Zvukové vlny sa šíria rôznym prostredím rôznu rýchlosťou, pričom sa zoslabujú, Ich intenzita ubúda šírením na väčšie a väčšie vlnoplochy, čiastočným pohlcovaním v prostredí a pri odraze na telesách.

Podobne ako nás sluchový orgán rozochvieva jú sa aj iné telesá dopadom zvukových vín, ktoré sa potom šíria nielen vo vzduchu, ale i v plyne, v kvapalinách i v pevných látkach.

Na hmotné prvky telesa môžeme pozerať ako na oscilátory /priблиžne harmonické/, ktoré nie sú volné, ale sú viazané s ostatnými hmotnými prvkami telesa. Ak je vychýlený jeden prvak,

prenáša sa zmena jeho polohy aj na susedné prvky telesa. Šírenie kmitu v určitom prostredí nazývame postupným vlnením. Obecne sa šíri vlnenie z miesta rozruchu na všetky strany, nielen v telese samom, ale sa prenáša i na okolité prostredie. Tento jav predstavuje vyžarovanie postupných vĺn. Pri šírení vĺn sa prenáša kmitová energia na ďalšie prvky. Táto energia sa odníma oscilátoru, kde rozruch vzniká. Vyžarovanie vĺn je okrem premeny mechanickej energie v teplo dôležitou príčinou útlmu.

Pozdĺžne vlnenie vznikne, ak vychýlime jednu guli v smere rady a následne uvoľníme, gula vychýli susednú, ktorá opäť vychýli ďalšiu a tak kmit prebehne celou radou, na ktorej konci sa odrazí, šíri späť, až sa utlmí.

Ak je štruktúra rady všade rovnaká, bude výmena energie medzi všetkými oscilátormi rovnako rýchla a preto rýchlosť c, akou vlnenie postupuje v rade, bude stála.

Vlnenie vykoná za kmitovú dobu T určitú dráhu, ktorá sa nazýva vlnová dĺžka a je daná vztahom:

$$\lambda = cT \quad / 1 /$$

Harmonický opakovany kmit je pritom daný vztahom:

$$y/t = A \sin \omega t = A \sin \frac{2\pi}{T} \cdot t \quad / 2 /$$

kde: t - čas

Rýchlosť c šírenia vlny nazývame fázová rýchlosť.

Určiť rýchlosť vĺn v pružných telesách napr. vo vlákne, je zložité. Najvhodnejšie je možné prispôsobiť podľa rýchlos-

ti pozdĺžných vĺn v tenkej tyči. Pozdĺžne kmity v tyči sa prejavujú tým, že prierez v mieste M sa vychylí o dĺžku u. Táto okamžitá výchylka sa prenáša pružnosťou tyče na ďalšie prierezy, ktoré kmitajú s istým meškaním, závislým na vzdialosti od bodu M. Tyčou postupuje pozdĺžna vlna. Ak označíme ú súčasnú výchylku prierezu v mieste M' vzdialenom od M v nedeformovanej tyči o  $\Delta x$ . Deformáciami u a ú sa zmení táto vzdialenosť na  $\Delta x'$ , pričom:

$$\Delta x' - \Delta x = \bar{u} - u = \Delta u \quad / 3 /$$

a pomerné predĺženie  $\varepsilon$  tyče MaM:

$$\varepsilon = \frac{\Delta x' - \Delta x}{\Delta x} = \frac{\Delta u}{\Delta x} \quad / 4 /$$

Podľa Hookova zákona je napätie  $\sigma$  rovné:

$$\sigma = E \cdot \varepsilon \quad / 5 / \quad \text{kde: } E - \text{Youngov modul pružnosti,}$$

takže na celý prierez tyče v mieste M pôsobí sila:

$$F = S \cdot \sigma \quad / 6 /$$

### 3.1.1 Rýchlosť zvuku vo vlákne a predpoklady zvukovej pohltivosti

Vlákno môžeme prirovnat' k strune a potom na základe tohto porovnania pre rýchlosť šírenia priečnych elastických vĺn v strune platí vzťah:

$$c = \sqrt{\frac{\sigma}{\rho}} = \sqrt{\frac{F}{\rho u}} \quad / 7 /$$

kde:  $\rho u$  - dĺžková hustota struny

Z toho vyplýva, že rýchlosť je tým väčšia, čím väčšie je napätie struny  $\sigma = F/S$  a čím menšia je hustota struny  $\rho$ . Vztah vyjadruje pomery približne, lebo nezohľadňuje tuhost' struny.

Odráz zvuku sa prejavuje ozvenou, pri ktorej sluchom rozoznávame odrazený zvuk od pôvodného zvuku. Dva po sebe nasledujúce zvukové signály rozoznávame sluchom len vtedy, ak uplynne medzi nimi najmenej 0,1 s. Za túto dobu urazí zvuk približne dráhu 34 m a polovica tejto vzdialenosťi je teda najkratšia vzdialosť struny od zvukového zdroja, aby vznikla ozvena. Pri menších vzdialenosťach splýva pre sluch odrazená vlna s vlnou postupujúcou priamo od zdroja, takže odrazom vzniká jav, ktorý nazývame dozvukom.

Odrazený zvuk nepôsobí rušivo a zosiluje zvuk pôvodný, ak je časový rozdiel medzi pôvodným a odrazeným zvukom kratší než 0,06 s. Pri väčšom časovom rozdieli medzi rovnakými zvukmi nastáva tzv. zmesovanie, pôsobiace nepriaznivo na akost' počutia.

Druhý zmienený jav, pohlcovanie zvuku, vzniká tak, že odrazenou stenou sa dozvuk zoslabuje, pohltivosť  $\alpha$  /súčinniteľ zvukovej pohltivosti, absorbcia/ je preto dôležitou akustickou veličinou rôznych látok. Je to pomer látkou pohltenej intenzity zvuku  $I_p$  k intenzite dopadajúceho zvuku  $I_d$ ,

$$\alpha = \frac{I_p}{I_d}$$

/ 8 /

ktorý je pre všetky látky menší než 1

Všeobecne je pohltivost' pre nižšie tóny menšia a pre vyššie tóny väčšia. Pohltivost' ďalej závisí na uhle dopadu zvukových vln. Preto sa určuje stredná zvuková pohltivost' látky pre všetky smery.

Celková pohltivost' miestnosti v  $m^2$  je daná nasledovným vzťahom:

$$A = \sum_{i=1}^m d_i S_i \quad / 9 /$$

kde:  $S_i$  - plošný obsah i-tej steny

$d_i$  - pohltivost' steny

### 3.1.2 Využitie zvuku na stanovenie fyzikálnej charakteristiky vlákna

Deformačné procesy vo vlákne sú charakterizované rôznymi veličinami. Jednou zo základných je stanovenie modulu pružnosti vlákna. Spôsoby meraania tohto modulu môžeme rozdeliť na statické a dynamické.

Bežným spôsobom stanovenia počiatočného modulu je odčítanie z pracovnej krivky a takto zistená hodnota sa nazýva počiatočný modul vlákna.

Ďalšou možnosťou stanovenia počiatočného modulu sú dynamické metódy. Takto zmeraná hodnota sa nazýva dynamický modul. Dynamický modul sa vzťahuje k orientácii a jeho hodnoty sú cenné pre určenie štrukturál-

ných prechodov. Dynamický modul má preto isté vlákno o niečo vyššie hodnoty, než statický modul.

V posledných rokoch sa stále viac uplatňuje stanovenie počiatočného modulu z merania rýchlosťi šírenia zvuku vo vlákne. Takto stanovená hodnota sa nazýva zvukový, alebo sonický modul. Výhodou stanovenia je krátke časový interval, počas ktorého je možné získať predstavu o orientácii vlákna. Metóda je vhodná pre priadze, ale bola použitá aj pre zväzky nekonečných vlákiens.

Hodnoty modulu zistené meraním rýchlosťi zvukových impulzov sú podľa DUMBLETONA približne dvakrát väčšie než hodnoty modulu zistené na dynamometre INSTRON.

Viskoelasticke chovanie vlákna súvisí s vnútorným usporiadaním a štrukturálnymi pomermi vo vlákne. Z toho dôvodu bol zavedený pojem priemernej orientácie vlákna.

Pri sledovaní orientačných procesov sa porovnávajú vlastnosti rôzne orientovaných polymérov so základným neorientovaným polymérom. Všetky vlákna, ako polymérne útvary vykazujú istý stupeň orientácie tzv. predorientácia, čo je spôsobené už vlastným procesom vzniku vlákna. Tento stupeň orientácie je malý a väčšinou sa zanedbáva.

Stupeň celkovej orientácie vlákna, vypočítaný z merania dvojlomu je daný vzťahom

$$f_o = \frac{n_{||} - n_{\perp}}{n_d - n_{\delta}} \cdot \frac{dc}{d} \quad / 10 /$$

kde  $n_{\parallel}$  -  $n_{\perp}$ , resp. d je dvojlam, resp. hustota premeriavaneho vzorku

$n_d$  -  $n_h$ , resp. dc je dvojlam, resp. hustota ideálne orientovaného vzorku

Stupeň celkovej orientácie molekúl vlákna, vypočítaný z merania rýchlosťi šírenia zvuku, je daný vztahom podľa MOSELEYHO

$$f_d = 1 - \frac{c^2 u}{c^2} \quad / 11 /$$

kde Cu - je rýchlosť šírenia zvuku v neorientovanom vzorku  
c - je rýchlosť šírenia zvuku v premeriavanom vzorku

Tento vztah bol pre prax upravený. V poslednej dobe sa užíva v tvare

$$f_d = \frac{1 - \frac{c^2 u}{c^2}}{1 - \frac{c^2 u}{c_m^2}} \quad / 12 /$$

kde Cm - je rýchlosť šírenia zvuku v maximálne orientovanom polymére s daným stupňom kryštalického podielu.

Uvedené spôsoby využitia šírenia zvukovej vlny sú v poslednej dobe v značnej miere využívané pri stanovení základných charakteristík syntetických vlákien.

### 3.2 Fyzikálna podstata šírenia tepla v tuhom telesе

---

Tepelná energia sa šíri v hmote, v podstate tro-  
ma nasledovnými spôsobmi:

- vedením
- prúdením

Prenos energie sprostredkuje hmotné prostredie.

- žiarením alebo sálaním, pri ktorom tepelná energia  
je prenášaná elektromagnetickými vlnami.

Ak nemá teleso vo všetkých svojich častiach rov-  
nakú teplotu, vyrovnáva sa vzájomným pôsobením častic  
ich kinetická energia. Prenos tepelnej energie nazý-  
vame vedením tepla. Keď sa teploty rôznych častic te-  
lesa postupne vyrovnávajú jedná sa o neustálené /nes-  
tacionárne/ vedenie a keď je v telesе časovo stály  
teplotný spád jedná sa o ustálené /stacionárne/ vede-  
nie tepla.

Tepelné žiarenie alebo sálanie je inej povahy,  
lebo sa ním prenáša tepelná energia z telesa na tele-  
so. Prenos energie žiarením medzi dvoma telesami pre-  
bieha, aj keď teplota prostredia medzi nimi je nižšia  
alebo vyššia, než je teplota oboch telies.

Vedenie tepla:

Ak udržujeme povrchy rovinnej dosky na stálych tep-  
lotách  $t_1$  a  $t_2$  / $t_1 > t_2$ /, vznikne po určitej dobe rov-

novážny stav. Teplo  $Q$ , ktoré prejde za dobu  $\tau$  plochou  $S$ , je podľa skúseností priamo úmerné velkosti plochy  $S$ , teplotnému rozdielu  $/t_1 - t_2/$  a dobe  $\tau$  a nepriamo úmerné hrúbke dosky  $\sigma$ .

Teda platí:

$$Q = \lambda S \tau \frac{t_1 - t_2}{\sigma} \quad / 13 /$$

kde:  $\lambda$  - tepelná vodivost'

Šírenie tepla žiarením:

Pri výmene tepelnej energie žiarením medzi telesom ide o úhrnnú tepelnú energiu, ktorá sa medzi týmito telesami vymení. Vystačíme tu so zákonom Stefan - Boltzmanovým, podľa ktorého je intenzita vyžarovania  $H$ , t.j. čiselné energie, ktorú vyžiari plošná jednotka povrchu žiariaceho telesa do celého polopriestoru za jednotku času, úmerná štvrtnej mocnine absolútnej teploty  $T$  žiariaceho telesa.

Pre dokonale čierne teleso platí:

$$H_o = \sigma T^4 \quad / 14 /$$

kde:  $\sigma$  - Stefan - Boltzmanová konštanta

Pretože táto hodnota je veľmi malá a t'ažko sa s ňou prakticky počíta, používa sa tvar:

$$H_o = co / \frac{T^4}{100} \quad / 15 /$$

kde:  $co = 100^4 \sigma = 10^8 \sigma$  - je súčinitel' sálania čierneho telesa.

### 3.2.1 Prestup tepla a tepelná vodivost' vo vláknach

Tepelné vlastnosti vlákien tvoria dôležitú skupinu ich fyzikálnych vlastností. Patrí medzi ne preovšetkým tepelná kapacita, vodivost' a ich zmeny v závislosti od teploty, latentné teplo tavenia, teplotná rozt'ažnosť, teplota tavenia a teplota zoskelenia.

Tepelné vlastnosti sú dôležité, lebo v mnohých prípadoch sú rozhodujúce pre volbu vhodných parametrov spracovania alebo používania vlákien.

Zmeny štruktúry vlákien vplyvom termického pôsobenia sú veľmi rozsiahle, zložité a majú podstatný technologický význam a významne vplývajú taktiež na úžitkové vlastnosti vlákien.

Tepelná vodivost' je vlastnosť, ktorá charakterizuje rýchlosť prestupu tepla v určitej látke a má teda veľký význam v technickej praxi najmä vzhľadom na tepelnoizolačné procesy.

Špecifická tepelná vodivost'  $\lambda$ , súčinitel' tepelnej vodivosti, vyplýva zo základnej rovnice, ktoré charakterizujú všetky deje transportu tepelnej energie cez látku:

$$\frac{Q}{t} = - \lambda F \frac{\partial T}{\partial x}$$

Je definovaná množstvom tepla  $\underline{Q}$ , ktoré prejde za jednotku času  $\underline{t}$  látkou, ktoré je úmerné ploche  $\underline{F}$ , kolmej na prestup tepla a teplotnému gradientu  $\partial T / \partial X$ . V prípade určitého vlákna vodivost' môže ovplyvňovať najmä pomer kryštalickej a amorfnej fázy. V amorfnych polyméroch so stereoštruktúrou sa tepelné vlny lámu, alebo ohýbajú. Tepelná vodivost' je nižšia v amorfnych materiáloch než v kryštalických. Ovplyvňujú ju aj štrukturálne defekty. Na týchto miestach sa vyskytuje intenzívny lom, alebo ohýbanie tepelných vín. Tepelná vodivost' je okrem toho ovplyvnená mikro - a makrokapilárnoch distribúciach v materiáli. Najväčší vplyv na tepelnú vodivost' má povrch vzorky.

Súčinitel' prestupu tepla  $\underline{\lambda}$  nie je materiálová konšanta ako tepelná a teplotná vodivost', ale veličina, ktorá nadobúda veľmi rôzne hodnoty podľa okolností. Číselne udáva množstvo tepla, ktoré prejde prúdením a vedením jednotkovou plochou.

### 3.3 Kvalitatívne predpoklady textilných vlákien pre zvukovú a tepelnú izoláciu

---

Súčasné potreby rôznych odvetví na rôzne typy izolačných prvkov sa čoraz vo väčšej miere orientujú na textilné materiály, resp. kompozitných materiálov s podielom textilií. V súlade so zámermi pracoviska, na ktorom bola vypracovaná diplomová práca zásadná

orientácia prípravy izolačných materiálov je zameraná hlavne na oblast' automobilového priemyslu a stavebnictvo.

Na výrobu textilií pre úpravu interiéru a exteriéru dopravných vozidiel sa používajú prírodné a syntetické vlákna. Čoraz širšie uplatnenie nachádza polypropylén. Príležitostne sa používa bavlna a akryl v zmesi so syntetickými vláknami, ktorými sú polyamid, polyester, viskóza a polypropylén.

Bavlna sa používa hlavne v oblasti netkaných textilií, kde je dôležitý bavlnený odpad, odletky alebo krátka bavlna z druhého vyzrňovania. Používa sa na výrobu zvukovo a tepelnou izolačných materiálov, čalúnnických rún a laminátov pre sedadlá vozidiel a výrobu autokobercov.

Juta sa používa na zvukovú izoláciu automobilov a ako primárna podkladovka autokobercov. Jej význam sa zmenšil pod vplyvom náporu priemyslu chemických vlákien.

Kokosové vlákna sa môžu použiť na zvukovú izoláciu, ako výplnkový materiál a na výrobu autokobercov. Je však potrebné znížiť ich horľavosť.

Odpadové vlnené vlákna sa môžu využiť na tepelnú a akustickú izoláciu automobilov.

Celulóza sa používa pri výrobe autokobercov a kompozitných materiálov pre interiér automobilu.

Odpady z acetátových tkanín sa môžu použiť na výrobu netkanej textílie pre tepelno a zvukovoizolačnú vložku do kabín áut.

Akrylové vlákno je pružné, ale používa sa len ako efektívna priadza do textilií na sedadlá do automobilov. Odpadové PAN vlákna sa môžu použiť na výrobu tepelno a zvukovoizolačných materiálov.

Polyamid je mimoriadne pevný, odolný voči chemikáliam a dostatočne pružný. Odpady z vlákna Kapron sa používajú na výrobu tepelno a zvukovoizolačných materiálov.

Polypropylén /polyolefín/ patrí v súčasnosti medzi najpoužívanejšie vlákno v západnej Európe. V posledných 10 rokoch boli podstatne zlepšené jeho užitkové vlastnosti a spracovateľnosť. Najväčší technický pokrok u POP vlákna sa dosiahol aplikáciou statilizátorov na zlepšenie odolnosti voči UV žiareniu, čo rozšírilo jeho použitie v automobiloch. V súčasnosti sa vynakladá značné úsilie na zníženie hmotnosti jednotlivých zložiek vozidiel za účelom zníženia spotreby paliva na minimum. Výber textilií pre interiéry automobilov sa orientuje na použitie ľahších materiálov, ktoré sú atraktívne a zároveň funkčné. Tomuto kritériu veľmi dobre zodpovedá špeciálne upravené POP vlákno, ktoré má veľmi nízku mernú hmotnosť, iba  $0,91 \text{ g} \cdot \text{cm}^{-3}$ . Je odolné voči oderu, má malú špinivosť, jednoducho sa čistí, má dobrú rozmerovú stabilitu, biologickú a chemickú odolnosť, malý statický ná-

boj a vysokú schopnosť mechanického namáhania. To sú dôvody, pre ktoré stúpa význam POP vlákna v oblasti automobilov. POP patrí dnes k najdôležitejším typom vlákiem pre toto použitie. Je vhodný na výrobu autokobercov, potahov obkladacích priestorov, zadných častí sedadiel, batožinových priestorov, vnútornej karosérie, ďalej na výrobu tepelno a zvukovoizolačných materiálov na sedadlá vozidiel.

Polyester je jedným z najdôležitejších vlákiem pre vnútorné vybavenie automobilov. Má dobrú rozmerovú stabilitu, ako aj dobrú odolnosť voči pôsobeniu svetla. Je vhodný na výrobu autokobercov, potahoviek a tepelno a zvukovoizolačných materiálov na sedadlá vozidiel.

PVC vlákna sa javia ako najperspektívnejšie pre tepelno a zvukovoizolačné materiály. Používajú sa v čalúnnictve, napr. pre sedadlá alebo vnútornú časť dverí automobilov, ako aj tepelno a zvukovoizolačná vložka do kabín áut.

Duté vlákna vznikajú profilovaním. Tvar profilu zvlákňovacej trysky sa volí tak, že možno regulovať veľkosť dutiny, resp. aj počet dutín vo vlákne. Dutina má vplyv na tepelnoizolačné vlastnosti vlákna. V patentovej literatúre sa vyskytlo použitie dutých vlákiem v automobile v patente NSR 3 013 134, v ktorom sa rohožový materiál, obsahujúci termoplastický vlákenný materiál vo forme dutých vlákiem, používa z dôvodu ľahkej váhy pre konštrukciu prístrojových dosiek do automobilov.

Dôležitou úlohou textilného priemyslu je úplné využitie odpadov, vznikajúcich pri spracovaní surovín. Jednou z oblastí použitia odpadových vlákien je automobilový priemysel.

Boli uskutočnené výskumy použitia netkaných vpichovaných podkladoviek pri výrobe kože typu Vinilis NT s tepelne a zvukovoizolačnými vlastnosťami, určenej pre vnútorné vybavenie automobilov a výrobu tepelne izolačných potahov pre rôzne klimatické oblasti. Vpichované materiály boli získané z odpadov syntetických vlákien /Kapron, Lavan, Nitron/.

Pre tepelnú a zvukovú izoláciu automobilov sa používajú odpadové prírodné vlákna /bavlnené, vlnené/ a syntetické vlákna /lavsanové, PAN/. Pre tepelné izolačné materiály je najperspektívnejšie vlákno PVC, ktoré má aj výborné zvukovoizolačné vlastnosti.

### 3.3.1 Špeciálne typy textilných vlákien pre tepelné a zvukové izolácie

Medzi súčasné špecifické požiadavky na časť sortimentu technických textilných výrobkov patria aj nároky na zvukovo a tepelnoizolačné vlastnosti.

- V tejto súvislosti sa objavujú aj špeciálne požiadavky na nové typy syntetických vlákien zamerané hlavne na:
  - viacnásobnú zmenu profilu vlákna

- zvýšenú poréznosť povrchu vlákna
- vytváranie rôznych dutín a makrodefektov v štruktúre vlákna a na jeho povrchu.

V poslednej dobe sa vo svete využívajú pre zlepšenie tepelnoizolačných vlastností. Vytvorené dutiny vo vlákne zadržiajú vzduch ako prirodzený izolátor a tak zvyšujú izolačnú schopnosť textílií z týchto vlákienn. Na zvukové izolačné vlastnosti textilného materiálu, napr. vo forme rúna, okrem technologických podmienok jeho prípravy, sú rozhodujúce aj fyzikálno-mechanické parametre aplikovaného vlákna. Bolo potvrdené, že koeficient zvukovej pohltivosti závisí, okrem iného, aj na rozptýlení mechanickej energie v rôznych defektoch štruktúry vlákna. Základné súvislosti vyplývajú z úrovne molekulárnej orientácie vlákna a tým aj ovplyvnenie koeficientu šírenia zvuku vo vlákne.

Pri konštrukcii zvukovoizolačných textilných materiálov je potrebné vychádzat z nasledovných predpokladov:

- makroštruktúry textilného útvaru, ktorá je charakterizovaná makropórmami. Pre šírenie elastického vlnenia v tomto priestore platí Laplaceov vzťah:

$$c = \sqrt{\frac{k}{\rho}} \quad / 17 /$$

kde: k - modul objemovej pružnosti.

- mikroštruktúry plošného textilného útvaru /napr. rúna/, t.j. štruktúry použitého syntetického vlákna.

Ako vyplýva z fyzikálnej podstaty polymérov pre šírenie rýchlosťi zvuku platia vzťahy pre elasticke vlnenie v tuhých látkach, definované Youngovým modulom pružnosti  $E$ , napäťím  $\sigma$  vo vlákne úmerným dĺžiacemu pomeru  $\lambda$  a hustote vlákna  $\rho$ .

Z uvedených teoretických predpokladov vyplýva, že k znižovaniu intenzity zvuku vedú cesty jeho šírenia na väčšie vlnoplochy, zaistenia čiastočného pohlcovania a odrazu.

Pri konštrukcii textilných zvukovo absorbčných materiálov je preto potrebné zohľadniť nasledovné predpoklady:

- ovplyvnenie makroštruktúry textilného útvaru, t.j. makropórov, okrem iného aj použitím rôznych profilov vlákiem, resp. s rôznou poréznosťou na povrchu
- zmeny mikroštruktúry aplikovaných vlákiem hlavne vo vzťahu k modulu pružnosti, ich vnútorného napätia, orientácie a hustoty.

## 4.0 EXPERIMENTÁLNA ČASŤ

### 4.1 Základné experimentálne materiály a ich príprava

Pre experimentálne práce boli použité dva typy špeciálnych syntetických vlákien vyrobených na báze normálneho polyméru - polypropylénu.

Použité boli strižové vlákna:

- a/ anorganicky plnené
- b/ duté vlákna

Pri výrobe kompozitného, anorganicky plneného vlákna - POP striže, bol ako plnidlo použitý mikromletý vápenec s priemernou veľkosťou častíc  $2,8 \mu\text{m}$ . Makromorfologická charakteristika týchto vlákien sa vyznačuje tým, že častice plníva sa nachádzajú v dutinách pretiahnutých v axiálnom smere rozvolnenej defektnej fibrilárnej štruktúry vlákna. Defekty prenikajú aj na povrch vlákna.

Bola zistená tendencia poklesu rýchlosťi šírenia zvuku v týchto vláknach so zvyšujúcim sa plnivom vo vlákne. Na základe uvedeného boli získané určité zlepšené izolačné vlastnosti takýchto vlákien.

Plnené vlákna predstavujú heterogénnu zmes vláknootvorného polyméru a jemných práškovitých látok, ktoré sa netvoria, nerozpúšťajú v polymére a nemenia svoje chemické zloženie v procese tvorby a úpravy vlákna.

Vzhľadom na to, že sú častice plniva zabudované v polymérnej matrici, je zrejmé, že plnivo sa musí pridávať k základnému polyméru pred výstupom taveniny z kanála zvlákňovacej hubice.

Spôsoby pridávania jemných častic plniva k polyméru je možné rozdeliť na:

- suché zmiešanie plniva s POP pred vytláčaním taveniny
- zmiešanie predom plnenej časti POP s neplneným POP
- pridávanie koncentrátov plniva do neplneného POP

Najvhodnejší je postup cez prípravu koncentrátov plnív, ktorý zabezpečuje dokonalé preddispergovanie plníva v nosiči pri procese prípravy koncentrátu.

Od kvality disperzie plniva bude závisieť filtrovatelnosť, proces tvorby vlákna, jeho dĺžitelnosť a fyzikálno-mechanické vlastnosti.

Zmes taveniny POP a rovnomeru rozdispergovaných častic plniva sa vedie na zvlákňovaciu hubicu, cez ktorú sa pretláča vo forme vlákien, ktoré sa podľa oblasti aplikácie následne upravujú.

Plnené vlákna so sorbčnými vlastnosťami sú určené pre čistenie priemyselných plynných odpadov od toxickej látok, pre výrobu ľahkých a účinných respirátorov, určených pre priemyselné a zdravotnícke použitie, zachytávanie rôznych látok z kvapalín, absorbciu organických pár a pod..

Ďalšou širokou možnosťou aplikácie plnených POP vlákienn je oblasť armovania stavebných kompozitov. Hlavnými prednosťami POP kompozitov je vynikajúca rázová pevnosť, ako dôsledok schopnosti absorbovať ohybovú rázovú energiu a vysoká odolnosť POP vlákienn voči alkalickému prostrediu silikátovej matrice.

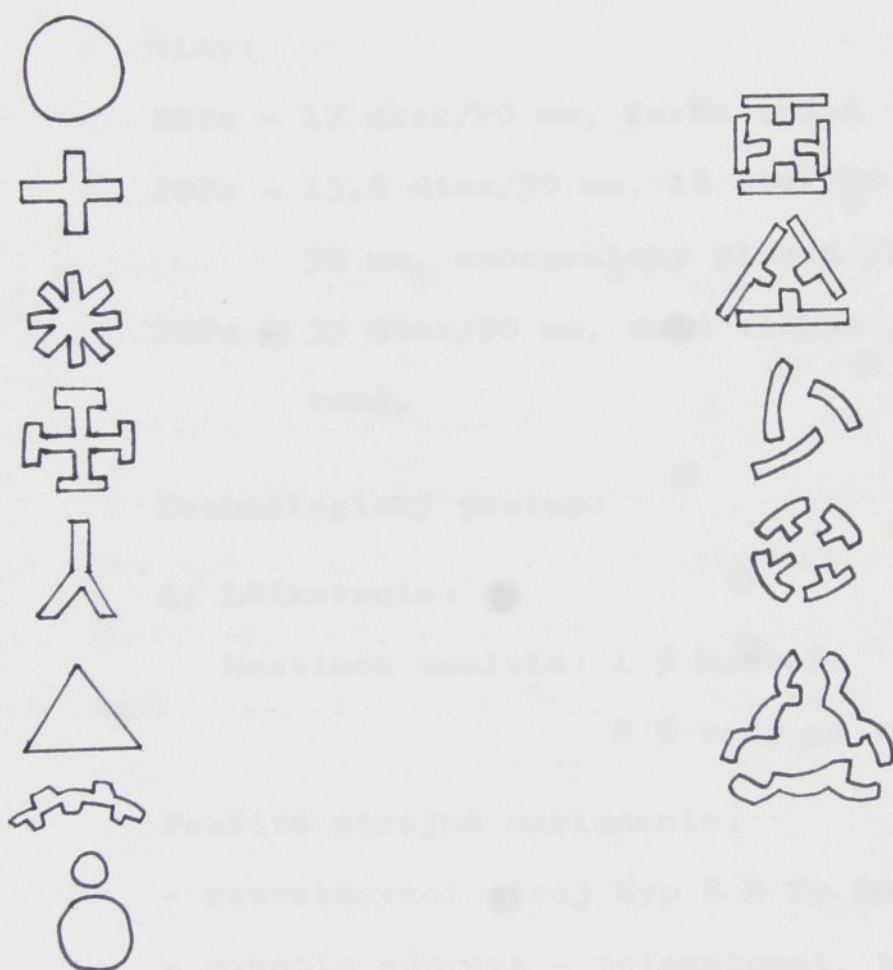
Použité duté vlákno bolo vyrobené za bežných technologických podmienok výroby normálnej polypropylénovej striže. Pre výrobu bola špeciálne upravená hubica s vnútorným kruhovým profílom a vonkajším vo forme 8-článkového profilu /tzv. OKTALOBÁL/.

Ďalšia technologická úprava dutého POP vlákna je totožná s technológiou prípravy polypropylénovej striže.

Predbežne experimentálne, v podmienkach aplikovaného výskumu ČSSR, je duté vlákno využívané k príprave rôznych typov, najmä filtračných textílií, absorbčných materiálov a pod..

Pre ilustráciu uvádzam na obr. č. 1 základné typy

zvlákňovacích hubíc, ktoré je možné pripraviť v podmienkach n.p. CHZJD Bratislava, pre výrobu dutých POP vlákiens.



Obr. č.1 Základné typy zvlákňovacích hubíc

#### 4.1.1 Technológia prípravy izolačných materiálov zo špeciálnych POP vlákien

Priprava textilných plošných útvarov zo špeciálnych POP vlákien bola zabezpečená v podmienkach poloprevádzky VÚTCH Žilina.

Na výrobu rúna boli použité nasledovné suroviny:

POPs - 17 dtex/90 mm, farba režná

POPs - 15,8 dtex/90 mm, 18 dtex/90 mm, 23,2 dtex/  
90 mm, anorganicky plnená /AP/

POPs - 35 dtex/90 mm, duté vlákno /D/, farba červená.

Technologický postup:

1/ Lôžkovanie:

Mastiaca emulzia: 1 % Mastolu

8 % vody na váhu materiálu

Použité strojné zariadenie:

- rozvolňovací stroj typ 8 N fy Befama
- mykacia súprava - poloautomat, typ CR - 27 fy  
Befama ukončený rúnovacím zariadením pre priečne uloženie vlákien
- vpichovací stroj ROLIS I - 200
- vpichovací laboratórny stroj

2/ Tri pasáže rozvolňovania

3/ Mykanie:

Rýchlosť hlavného bubna  $100 \text{ n} \cdot \text{min}^{-1}$

Rýchlosť snímacieho bubna  $7-10 \text{ n} \cdot \text{min}^{-1}$

Rýchlosť volantu  $570 \text{ n} \cdot \text{min}^{-1}$

4/ Vpichovanie:

Vpichovací stroj ROLIS I - 200 - predpichovanie

šírka stroja 2000 mm

šírka spracovávaného rúna 1900 mm

pracovná rýchlosť stroja  $150 - 450 \text{ zdvihov} \cdot \text{min}^{-1}$

vpichovacie ihly sú uložené cik - cak

hĺbka vpichu 10,8 mm

5/ Finálne vpichovanie:

Vpichovací laboratórny stroj

pracovná šírka 500 mm

zdvih vpichovacej hlavy 60 mm

šírka vpichovacej hlavy 205 mm

výška vpichovacej hlavy 25 mm

dĺžka vpichovacej hlavy 530 mm

rýchlosť posunu materiálu  $1,1 \text{ m} \cdot \text{m}^{-1}$

typ ihiel 15 x 18 x 32 x 3" CB super špeciál

## 4.2 Metodická časť

### 4.2.1 Stanovenie základných parametrov textilných vlákien a izolačných materiálov

V tab. č. 1 sú uvedené základné technické parametre experimentálne použitých špeciálnych typov vlákien. Príprava jednotlivých typov experimentálnych vzoriek je uvedená v kapitole 4.1.1, na základe čoho vyplýva aj ich základné označenie v tab. č. 2.

Základné technické parametre pripravenej textilnej plsti boli stanovené v podmienkach mechanickej skúšobne VÚTCH Žilina podľa nasledovných metodík:

1. stanovenie merných ukazovateľov - plošná hmotnosť, objemová hmotnosť, hrúbka - ČSN 80 0 845
2. nasiakavosť plošných textílií - ČSN 80 0 831.

V tabuľke č. 2 je základné označenie izolačných plstí pre experimentálne práce, ako boli zadané základné hmotnosti pre ich prípravu.

V tabuľkách č. 3, 4, 5, 6, 7 uvádzam zistené základné parametre textilných plstí.

| vzorka   | dĺžiaci po-<br>mer $\lambda/$ | jemnosť<br>$T/dtex/$ | pevnosť<br>$Fp/cN/dtex/$ | tážnosť<br>$F/\%$ | VK pev-<br>nosti<br>$VKFP/\%$ | VK t'ažnosť-obj.-hmotnosť<br>ti VKF $/\%$ | VK t'ažnosť-obj.-hmotnosť<br>ti VKF $/\%$ | rýchlosť<br>zvuku<br>$c/km \cdot s^{-1}$ |
|----------|-------------------------------|----------------------|--------------------------|-------------------|-------------------------------|---|---|--|
| POPs-AP  | 1 : 5                         | 15,8                 | 3,14                     | 24,0              | 13,2                          | 34,3                                      | 0,9135                                    | 2,94                                     |
| POPs-AP  | 1 : 4,2                       | 18,0                 | 2,54                     | 42,6              | 9,1                           | 47,6                                      | 0,9254                                    | 2,63                                     |
| POPs-AP  | 1 : 3,1                       | 23,2                 | 2,0                      | 142,9             | 12,2                          | 38,0                                      | 0,9424                                    | 2,58                                     |
| POPs-D   | 1 : 2,5                       | 35,0                 | 1,75                     | 7,28              | 9,52                          | 19,95                                     | -   | -  |
| POPs-št. | 1 : 4                         | 17,1                 | 2,73                     | 35,8              | 8,75                          | 15,70                                     | -   | 3,14                                     |

Tab.č. 1 Fyzikálno-mechanické vlastnosti použitých POP vláken

Poznámka:

POPs-AP - polypropylénová striž, anorganicky plnená, experimentálne pripravená vo VÚCHV Svit  
POPs-D - polypropylénová striž, duté vlákno, experimentálne pripravené v n.p. CHZJD Bratislava

POPs-štandard - polypropylénová striž, štandardné vlákno z n.p. CHZJD Bratislava  
Fyzikálno-mechanické vlastnosti POPs-AP boli stanovené podľa platných ČSN v podmienkach mechanickej skúšobnej VÚCHV Svit. Parametre POPs /štandard/ POPs-D okrem ďalšia či boli stanovené v mechanickej skúšobnej VÚCHV Žilina.

Pre pôvodne postavený zámer diplomovej práce sa nepodarilo zabezpečiť z n.p. CHZJD Bratislava

POPs - duté vlákno v rozsahu jemnosti 17 - 35 dtex/90 mm.

| č.vz. | plošná hmotnosť vzoriek<br>$/10^{-3} \text{ kg} \cdot \text{m}^{-2}/$ |
|-------|---|
| 1     | 200   |
| 2     | 300   |
| 3     | 400   |
| 4     | 2 x 200   |
| 5     | 2 x 300   |
| 6     | 2 x 400   |

Tab. č. 2 Základné označenie vzoriek izolačných  
plstí pre experimentálne práce

| č.vz. | zist.ploš.hmot.<br>$/10^{-3} \text{ kg} \cdot \text{m}^{-2}/$ | hrúbka<br>$\text{h}/10^{-3} \text{ m}/$ | objem.hmot.<br>$/10^{-3} \text{ kg} \cdot \text{m}^{-3}/$ | nasiakavosť<br>N /% |
|-------|---|---|---|---------------------|
| 1     | -   | -                                       | -   | -                   |
| 2     | 255,66  | 3,64                                    | 0,069   | 434,67              |
| 3     | 391,33  | 4,39                                    | 0,088   | 380,10              |
| 4     | 445,00  | 5,40                                    | 0,082   | 372,78              |
| 5     | 592,6   | 6,50                                    | 0,091   | 363,97              |
| 6     | 835,3   | 7,85                                    | 0,106   | 338,29              |

Tab. č. 3 Zistené základné parametre textilných  
plstí z POPs - štandard jemnosti  
17 dtex/90 mm

| č.vz. | zist.ploš.hmot.<br>$/10^{-3} \text{ kg} \cdot \text{m}^{-2}/$ | hrúbka<br>$\text{h}/10^{-3} \text{ m}$ | objem.hmot.<br>$/10^{-3} \text{ kg} \cdot \text{m}^{-3}/$ | nasiakavost'<br>N /% |
|-------|---|--|---|----------------------|
| 1     | 207,66  | 2,94                                   | 0,071   | 441,26               |
| 2     | 325,66  | 3,71                                   | 0,088   | 405,49               |
| 3     | 281,0   | 3,69                                   | 0,076   | 314,72               |
| 4     | 478,0   | 5,70                                   | 0,084   | 264,36               |
| 5     | 591   | 7,48                                   | 0,078   | 329,14               |
| 6     | 691   | 6,99                                   | 0,099   | 320,95               |

Tab. č. 4 Zistené základné parametre textilných plstí z POPs-D jemnosti 35 dtex/90 mm

| č.vz. | zist.ploš.hmot.<br>$/10^{-3} \text{ kg} \cdot \text{m}^{-2}/$ | hrúbka<br>$\text{h}/10^{-3} \text{ m}$ | objem.hmot.<br>$/10^{-3} \text{ kg} \cdot \text{m}^{-3}/$ | nasiakavost'<br>N /% |
|-------|---|--|---|----------------------|
| 1     | 189,33  | 2,37                                   | 0,080   | 688,14               |
| 2     | 296,67  | 3,96                                   | 0,075   | 636,23               |
| 3     | 249,67  | 3,39                                   | 0,074   | 785,15               |
| 4     | 431,00  | 4,84                                   | 0,088   | 576,71               |
| 5     | 557,00  | 6,54                                   | 0,084   | 536,71               |
| 6     | 673,30  | 6,88                                   | 0,098   | 539,33               |

Tab. č. 5 Zistené základné parametre textilných plstí z POPs-AP jemnosti 15,8 dtex/90 mm

| č.vz. | zist.ploš.hmot.<br>$/10^{-3}\text{kg} \cdot \text{m}^{-2}/$ | hrúbka<br>$\text{h}/10^{-3}\text{m}/$ | objem.hmot.<br>$/10^{-3}\text{kg} \cdot \text{m}^{-3}/$ | nasiakavost'<br>N /% |
|-------|---|---------------------------------------|---|----------------------|
| 1     | 246,00  | 3,17                                  | 0,077   | 465,13               |
| 2     | 274,60  | 3,48                                  | 0,079   | 536,03               |
| 3     | 303,67  | 3,69                                  | 0,083   | 580,76               |
| 4     | 628,33  | 7,61                                  | 0,082   | 585,48               |
| 5     | 697,00  | 7,18                                  | 0,098   | 505,08               |
| 6     | 810,00  | 7,72                                  | 0,105   | 479,06               |

Tab. č.6 Zistené základné parametre textilných plstí  
z POPs - AP jemnosti 18 dtex/90 mm

| č.vz. | zist.ploš.hmot.<br>$/10^{-3}\text{kg} \cdot \text{m}^{-2}/$ | hrúbka<br>$\text{h}/10^{-3}\text{m}/$ | objem.hmot.<br>$/10^{-3}\text{kg} \cdot \text{m}^{-3}/$ | nasiakavost'<br>N /% |
|-------|---|---------------------------------------|---|----------------------|
| 1     | 223,00  | 3,11                                  | 0,077   | 411,04               |
| 2     | 241,00  | 3,17                                  | 0,070   | 430,20               |
| 3     | 362,00  | 4,68                                  | 0,077   | 433,79               |
| 4     | 418,67  | 5,22                                  | 0,080   | 413,22               |
| 5     | 458,33  | 5,55                                  | 0,083   | 389,85               |
| 6     | 672,67  | 6,91                                  | 0,097   | 356,62               |

Tab. č.7 Zistené základné parametre textilných plstí  
z POPs - AP jemnosti 23,2 dtex/90 mm

Každé predpichované rúno bolo rostrihnuté po dĺžke na 3 kusy v šírke 500 mm, vpichovanie bolo prevedené na laboratórnom vpichovacom stroji s hĺbkou vpichu 12 mm a s počtom vpichov  $60 \text{ vp/cm}^2$ .

Takto boli získané základné plošné hmotnosti v rozsahu 200, 300,  $400 \text{ g.m}^{-2}$ . Za účelom zvýšenia počtu experimentálnych vzoriek boli tieto základné vrstvy rúny navezájom spájané ďalším vpichovaním, čím boli dosiahnuté vyššie plošné hmotnosti rúna:  $400 /2x200/, 600 /2x300/, 800 /2x400/ \text{ g.m}^{-2}$ .

Základné označenie vzoriek je uvedené v tab. č. 1 v kapitole 4.2.1.

#### 4.2.2 Stanovenie rýchlosťi šírenia zvuku vo vláknach

Definícia rýchlosťi zvuku:

Rýchlosť šírenia zvuku vo vlákne je rovná času, potrebnému na prechod pozdĺžneho mechanického vlnenia vláknom jednotkovej dĺžky.

Merná jednotka rýchlosťi zvuku  $\text{km.s}^{-1}/$ .

Princíp stanovenia:

Vzorka vlákna sa dotýka vysielacieho a prijímacieho čísla. Pozdĺžne mechanické impulzy z vysielačieho čidla sa použijú na spustenie časového obvodu a prenášajú sa presnou rýchlosťou vzorkou.

Po prechode meraným úsekom sa snímajú pomocou prijímacieho čidla a použijú sa k vypnutiu časového obvodu. Tieto opakované rozdiely medzi časom vstupu a časom výstupu sa prevedú na hodnotu času, ktorý medzi vstupom a výstupom uplynul a zaznamenajú sa na zapisovače ako funkcie vzdialenosť skúmaného vzorku.

Skúšobné pomôcky:

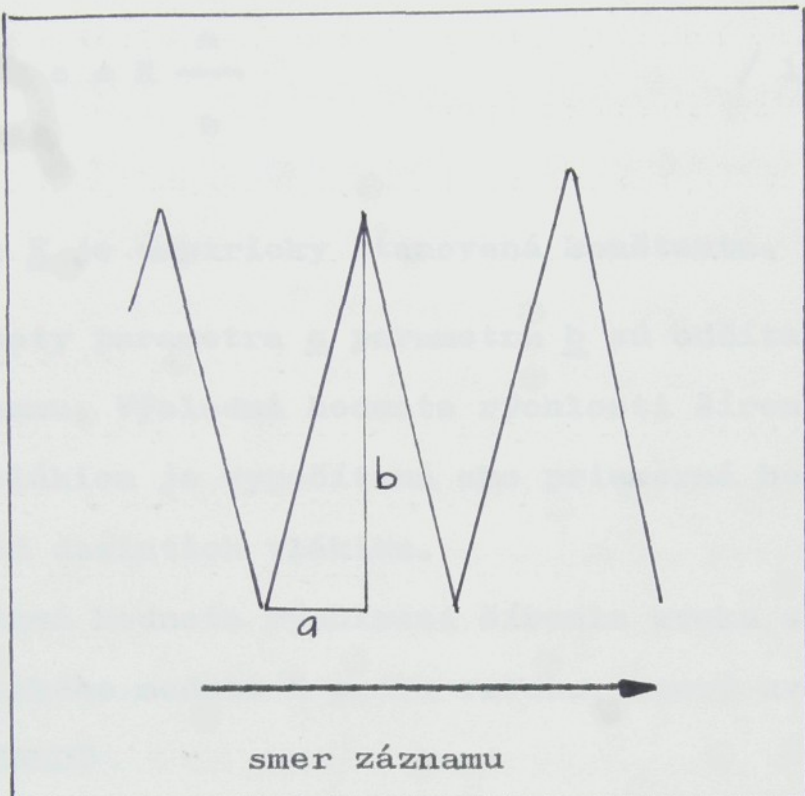
- prístroj na stanovenie dynamického modulu PPM-5R firmy H. M. Morgan CO., INC.
- závažie k analytickým váham
- nožnice

Postup merania:

Vlákno sa nastrihá na cca 60 cm dlhé úseky.

Ak je prístroj PPM-5R pripravený k meraniu, zapne sa hlavný vypínač, zapisovač a pohon vysielacieho čidla a nechajú sa previesť dva zápisy v každom smere na registračnom papieri. Trenie vlastností meraného materiálu môžu zapríčinit', že sa nedosiahne rovnaký záznam pri pohybe kryštálu na jednu a druhú stranu, alebo nie je možné získať úplne súvislú krivku. V takýchto prípadoch ponecháme previesť viac zápisov a do výpočtu sa berú iba úseky najdlhšie. Zaznamená sa rýchlosť pohybu papiera, rýchlosť čidla a rozsah, na ktorý je nastavená hodnota mikrosekúnd.

Výpočet sa prevádzza zo získaného záznamu.



Obr. č. 2 Grafický záznam merania na PPM - 5R

$$c = \frac{A \cdot a \cdot 100}{B \cdot b \cdot C} \quad / 18 /$$

c - rýchlosť pozdĺžneho šírenia zvuku

A - rýchlosť pohybu čidla

B - rýchlosť pohybu registračného papiera

C - nastavený rozsah papiera

a - dĺžka úseku naznačeného na zázname vo zvislom smere

b - počet dielikov na zázname vo vodorovnom smere

Pre ľahší priebeh výpočtu rýchlosťi šírenia zvuku možno zaviesť zjednodušený matematický vzťah:

$$c = K \frac{a}{b}$$

/ 19 /

kde: K je empiricky stanovená konštanta.

Hodnoty parametra a parametru b sú odčítané z grafického záznamu. Výsledná hodnota rýchlosťi šírenia zvuku vo vzorku vlákien je vypočítaná ako priemerná hodnota premeraných aspoň desiatich vlákien.

Získaná hodnota rýchlosťi šírenia zvuku slúži pre výpočet sonického modulu E podľa vzťahu, ktorý uvádzajú SCHULTZ - GEBHARDT

$$E = d \cdot c^2 + 2\sqrt{G}$$

/ 20 /

kde: d - je hustota vzorku /kg . m<sup>-3</sup>/

c - je rýchlosť zvuku /km . s<sup>-1</sup>/

$2\sqrt{G}$  - je korekčný člen, ak meranie je prevádzkané  
pri rozpäti

Obvykle sa počíta podľa zjednodušeného vzťahu:

$$E = d \cdot c^2$$

/ 21 /

#### 4.2.3 Metóda stanovenia zvukovej pohltivosti textilných materiálov

Prístroj na meranie stojatých vln - typ 4002 fy BRÜEL AND KJEAR je určený na meranie koeficientu absorbcie a špecifickej akustickej impedancie kruhových vzoriek materiálov absorbujúcich zvuk v rozsahu frekvencie 90 - 6500 Hz.

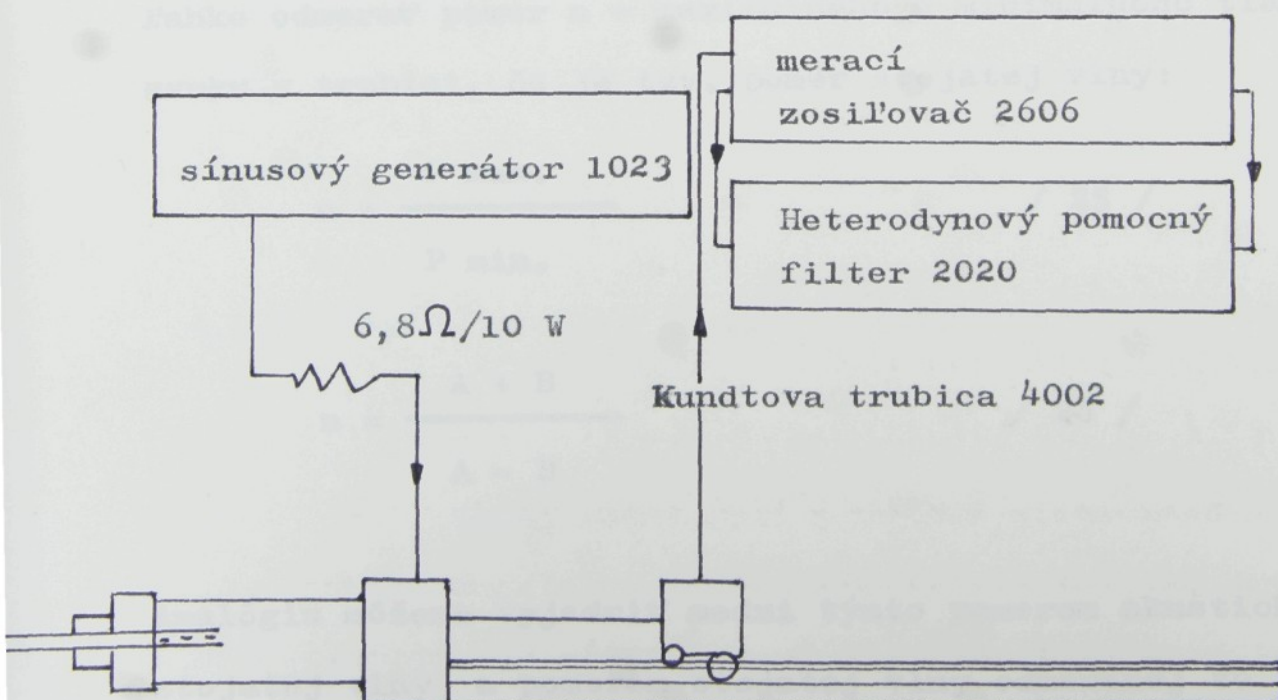
Merania sa uskutočňujú metódou stojatých vln, pri ktorých reproduktor vytvára zvukové pole v trubici ohraničenej skúmanou vzorkou. Odrazom od vzorky vznikajú v trubici zvukové vlny. Meraním pomeru medzi maximálnym a minimálnym akustickým tlakom sa môže vypočítať koeficient absorbcie vzorky pre nulový stupeň dopadu. Meraním vzdialnosti medzi povrchom vzorky a minimálnym a maximálnym tlakom sa dá tiež ľahko vypočítať komplexná akustická impedancia vzorky.

Pretože metóda merania vyžaduje rovinné zvukové vlny v meracej trubici, nesmie byť priemer vzorky väčší než polovina vlnovej dĺžky zvuku. Aby sa mohlo merat' v relatívne širokom rozsahu frekvencie, je prístroj na meranie stojatých vln vybavený dvoma meracími trubicami s rôznymi priemermi. Väčšia s priemerom trubice 100 mm sa môže použiť v rozsahu frekvencie 90 - 1800 Hz a menšia

s priemerom 30 mm by sa mala používať od 800 Hz do 6500 Hz.

Pri zostavovaní systému sa najskôr z absorbčného materiálu výreže kruhová vzorka a umiestní sa na jednom z troch držiakov vzoriek. U jedného držiaka je hľbka nastaviteľná, zatiaľ čo ostatné dva majú hľbky stabilné. Pomocou upínacieho zariadenia sa držiak vzorky upevní k jednému koncu meracej trubice, jej druhý koniec sa priskrutkuje k jednotke s reproduktorm. Cez osový /axiálny/ otvor v reproduktore sa viedie snímací mikrofón trubicového typu. Snímací mikrofón je na jednej strane podopretý malým posuvným vozičkom a na druhej strane vozíkom s mikrofónom. Jeho polohu ukazuje stupnica merítka.

Na obr. č.3 je znázornené kompletné zariadenie na meranie koeficientu akustickej absorbcie.



Obr. č.3 Zariadenie na meranie koeficientu akustickej absorbcie - bloková schéma

Koeficient zvukovej absorbcie vzorky  $\alpha$  je definovaný ako pomer medzi energiou absorbovanou vzorkou k celkovému dopadu energie na vzorku a pretože energia je úmerná štvorcu tlaku zvuku, potom

$$\alpha = 1 - / \frac{B}{A} /^2 \quad / 22 /$$

$$\alpha = 1 - r^2 \quad / 23 /$$

kde:  $r$  - pomer medzi amplitúdami odrazenej a pôvodnej vlny, t.j.

$$r = \frac{B}{A} \quad / 24 /$$

Ak použijeme prístroj na meranie stojatých vln, dá sa ľahko odmerať pomer  $n$  - maximálneho a minimálneho tlaku zvuku v trubici, čo je tzv. pomer stojatej vlny:

$$n = \frac{P_{\text{max.}}}{P_{\text{min.}}} \quad / 25 /$$

$$n = \frac{A + B}{A - B} \quad / 26 /$$

Analógiu môžeme vyjadriť medzi týmto pomerom akustickej stojatej vlny a pomerom stojatej vlny odmeranej vo vedení elektromagnetickej vlny.

$$\frac{B}{A} = \frac{n - 1}{n + 1} \quad / 27 /$$

Takže koeficient absorbcie môžeme taktiež vyjadriť členmi pomeru stojatej vlny dosadením vzťahu / 26/ do vzťahu /22/.

$$\alpha = 1 - / \frac{n - 1}{n + 1} /^2 \quad / 28 /$$

alebo

$$\alpha = \frac{4n}{n^2 + 2n + 1} \quad / 29 /$$

Uvedené meranie je obzvlášť ľahké, keď sa použije vhodne kalibrovaná stupnica, ktorá umožňuje odčítať koeficient absorbcie priamo zo stupnice meracieho zosilňovača.

#### 4.2.4 Metódy merania tepelnej vodivosti plošných textilií

Medzi známe metódy patria stacionárne, ktorých podstatou je meranie tepelného toku prechádzajúceho vrstvou meraného materiálu umiestneného medzi dvoma plochami o konštantných teplotách

$t_1, t_2$ . Príkon P je odvádzaný meraným materiálom o hrúbke s a závisí na tepelnej vodivosti materiálu podľa Newtonovho vztahu.

$$q = - \lambda \frac{t_1 - t_2}{s}$$

/ 30 /

Popísaná metóda je dostatočne presná, ale vyžaduje mnoho času k ustáleniu všetkých teplôt.

Ďalšie známe metódy podľa RINSUMA I SCHMIDTA a ďalších autorov sa od popísaného príkladu líšia tvarom vzorky, spôsobom stabilizácie, meraním teplôt, spôsobom ohrevu bloku a vyhodnotením príkonu.

Podstatou ďalšej známej normovanej metódy podľa ISO je meranie ustáleného tepelného toku prechádzajúceho materiálom vloženým medzi dve plochy 1, 2 pomocou čidla tepelného toku /prechádzajúceho materiálom/ nachádzajúceho sa medzi materiálom a jednou z plôch.

Ďalšou metódou je tzv. metóda pomalého ohrevu /chladnutia/ založená na meraní doby chladnutia masívneho bloku a vysokej tepelnej kapacite, obklopeného meraným materiálom o nižšej tepelnej kapacite. Tepelná kapacita meraného materiálu na vonkajšom povrchu udržovaného na konštantnej teplote sa potom neuplatní.

### Stacionárna metóda

#### 1. Tepelná vodivost':

- schopnosť látky viest' teplo. Číselne vyjadruje množstvo tepla, ktoré prejde za jednotku času plochou  $1 \text{ m}^2$  a vytvorí v textilií na vzdialenosť  $1 \text{ m}$  teplotný spád  $1^\circ\text{K}$ .

Vyjadruje sa v jednotkách /  $\text{Wm}^{-1} \text{ K}^{-1}$  /.

#### 2. Podstata metódy:

Princíp metódy spočíva v kolmom prietoku tepla z výhrevnej dosky vrstvou skúšanej vzorky k chladenej doske. Pri meraní sa zistuje hrúbka vzorky, povrchové teploty obidvoch dosiek a množstvo tepla prevodom elektrickej energie spotrebovanej vo výhrevnom zariadení. Základnou podmienkou pre túto meraciu metódu je poznanie tepelných strát výhrevného zariadenia.

Spotreba elektrickej energie sa vypočíta podľa vzorca:

$$E = E_2 - E_1 \quad / \text{Wh} / \quad / 31 /$$

kde: E - spotreba elektrickej energie počas vlastného merania

$E_1$  - stav elektromera na začiatku merania

$E_2$  - stav elektromera na konci merania

Spotreba elektrickej energie bez tepelných strát spôsobených nedokonalou izoláciou prístroja sa vypočíta

podľa vzorca:

$$Q = E - k \cdot T \quad / \text{Wh} / \quad / 32 /$$

kde: Q - množstvo tepla / W / dodané elektrickým prúdom do hornej /teplej/ dosky prechádzajúce skúšanou vzorkou

k - konštanta prístroja vyjadrujúca tepelné straty bez vzorky, pri  $t = 40^\circ\text{C}$        $k = 4 \text{ W}$

T - čas vlastného merania / hod. /

Čas vlastného merania sa vypočíta podľa vzorca:

$$\Delta T = T_2 - T_1 \quad / \text{hod.} \quad / 33 /$$

kde:  $T_1$  - začiatok vlastného merania /hod./

$T_2$  - koniec vlastného merania /hod./

Tepelná vodivosť plošných textilií sa vypočíta podľa vzorca:

$$\lambda = \frac{Q \cdot h}{F \cdot \Delta t \cdot \Delta T} \quad / \text{W} \cdot \text{m}^{-1} \cdot \text{K}^{-1} / \quad / 34 /$$

kde: h - hrúbka skúšanej vzorky /m/

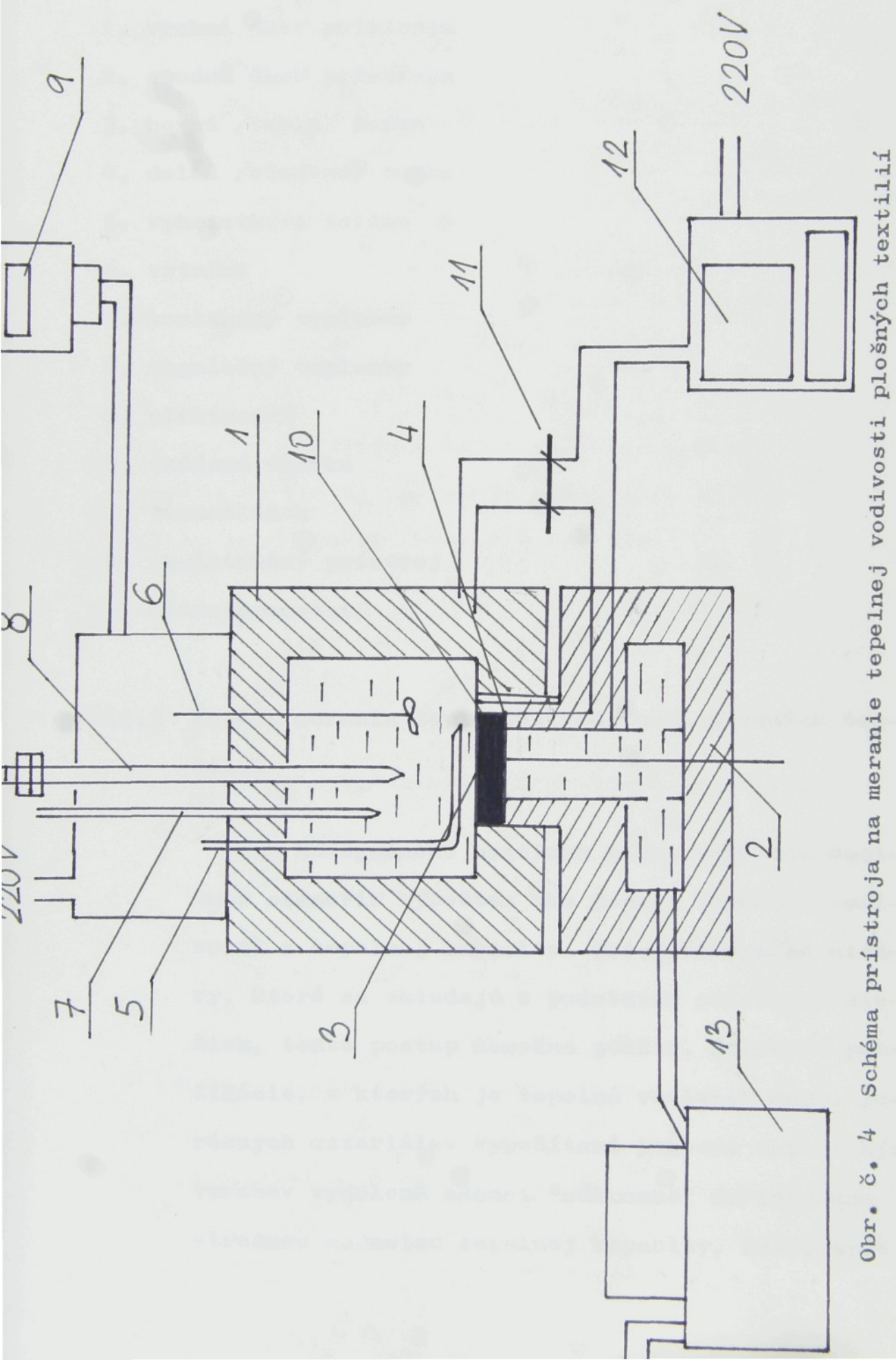
F - účinna plocha vzorky /zhodná s plochou spodnej dosky =  $0,00785 \text{ m}^2$  /

$\Delta t$  - rozdiel teplôt tepelnej a studenej dosky /  $^\circ\text{C}$  /

potom

$$\lambda = 127,388 \cdot \frac{Q \cdot h}{t \cdot T} \quad / \text{W} \cdot \text{m}^{-1} \cdot \text{K}^{-1} / \quad / 35 /$$

Princíp meracieho prístroja je znázornený na obr. č.4



Obr. č. 4 Schéma prístroja na meranie tepelnej vodivosti plošných textilií

Legenda k schéme prístroja:

1. vrchná časť prístroja
2. spodná časť prístroja
3. horná /teplá/ doska
4. dolná /studená/ doska
5. vyhrievacie teleso
6. vrtuľka
7. kontaktný teplomer
8. regulačný teplomer
9. elektromer
10. skúšaná vzorka
11. termočlánok
12. registračný prístroj
13. ultratermostat

#### 4.2.5 Metódy merania teplotnej vodivosti plošných textilií

U homogenného kontinua možno teplotnú vodivost' stanoviť výpočtom ako podiel tepelnej vodivosti a tepelnej kapacity. Pre heterogenné útvary, ktoré sa skladajú z podstatne odlišných zložiek, tento postup nemožno použiť. Existujú publikácie, v ktorých je tepelná vodivost' napr. pre rôznych materiálov vypočítaná pomocou empirických vzťahov vydelená akousi "súkromne" definovanou strednou hodnotou tepelnej kapacity, resp. stred-

nou kapacitou, avšak tieto postupy postrádajú fyzikálne zdôvodnenie.

V práci Krempaského autor popisuje rôzne metódy merania teplotnej vodivosti do roku 1968. Žiadna z po- písaných metód nie je založená na priamom meraní tepelného toku, väčšina metód obsahuje bodový, lineárny a plošný zdroj tepla  $Q$  pre ohrev vzorku a v istej vzdialosti  $x$  od zdroja na vzorku umiestnené teplotné čidlo meria teplotu  $t$  v čase  $\tau$ .

Pre takto usporiadane experimentálne zariadenie uvádzaj Kubičár vo svojej poslednej práci z r. 1984 nasledujúce vztahy pre výpočet tepelných veličín:

$$t/x, \tau = Q/f_c \sqrt{\pi a \tau} /^{-1} \exp /-x^2/4a\tau /^{-1} / 36/$$

$$a = z^2 / 2\tau_m f_R /^{-1} / 37/$$

kde:  $z$  -  $x$ -ova vzdialenosť teplotného maxima  $t_m$  v ča-  
se  $\tau_m$

$f_c$ ,  $f_R$  - korekčný faktor

$$c = f_c Q / \sqrt{2\pi\epsilon} z Q t_m / ^{-1} / 38 /$$

Nevýhody doteraz známych metód merania teplotnej vodi-  
vosti:

a/ nemožnosť merat' nekompaktné materiály /u zariadení  
s bodovými a lineárnymi zdrojmi tepla a bodovými čid-  
lami/

- b/ veľký vplyv tepelnej kapacity čidiel pri meraní pomocou plošných čidiel známych konštrukcií
- c/ principiálna chyba meraní spôsobená okrajovými vplyvmi
- d/ časová náročnosť spôsobená komplikovaným vkladaním vzorku do skúšobného zariadenia
- e/ komplikovaná príprava vzorkov /napr. v prípadoch, keď je vyžadovaný vzorok valcového tvaru/
- f/ značná zdĺhavosť celého meracieho postupu a komplikované vyhodnocovanie
- g/ nákladnosť niektorých príslušných zariadení

#### 4.2.6 Metóda súčasného merania tepelnej a teplotnej vodivosti

Jednou z posledných uvažovaných aplikácií komplexného štúdia tepelných vlastností, je charakteristika štruktúry plošných textílií, najmä textílií netkaných, pomocou tepelnej a teplotnej vodivosti a ďalších parametrov nedeštrukčných metód.

Na katedre NT VŠST Liberec je v súčasnosti jednoduchý prístroj pôvodnej konцепcie pre súčasné meranie tepelnej a teplotnej vodivosti plošných textílií. Pre meranie a vyhodnotenie jednoduchého vzorku o rozmeroch 50 x 50 mm ne-

trvá dlhšie než 50 s. Tento mikropočítačom riadený meriaci prístroj má názov ALAMBETA 07.

Metód a príslušných zariadení k meraniu tepelnej vodivosti textílií je známo relatívne mnoho, ale ich nevýhodou je však značná náročnosť merania.

Táto nová metóda, založená na použití špeciálneho veľmi rýchleho kontaktného snímača tepelného toku priloženého k textílii.

#### Princíp a funkcie prístroja ALAMBETA 07

Merací cyklus začína meraním tepelnej kapacity textílií. Textilný vzorok o pôvodnej teplote  $t_0$  je pri meraní náhle na jednom svojom povrchu ohriat' na teplotu  $t_1$ , takže jeho vnútorná priemerná teplota má hodnotu  $t_s$ . Pri tomto ohrevе je pomocou špeciálnych veľmi tenkých plošných čidiel snímaný a registrovaný jednak tepelný tok  $q_1$ , vstupujúci z kovového bloku o konštantnej teplote  $t_1$  do textílie, jednak tepelný tok  $q_2$ , ktorý z textílie vystupuje do základne, ktorej teplota je udržovaná na pôvodnej teplote celého vzorku  $t_0$ .

Tepelnú kapacitu vzorku o ploche  $F$ , hrúbke  $\delta$ , merom teple  $c$  a hustote  $\rho$  stanovíme zo vztahu

$$\Delta Q = \int_0^T /q_1 - q_2/ dT = d F \rho c / \frac{t_1 + t_2 - t_0}{2} / \quad /39/$$

Veľkosť tepelnej vodivosti  $\lambda$  sa zistuje na druhej, stacionárnej fázy tepelného deja výpočtom zo známeho vztá-

hu:

$$\lambda = \frac{q \sigma}{t_1 - t_0} \quad / 40 /$$

Ak zistíme popisaným postupom hodnoty tepelnej kapacity a tepelnej vodivosti, potom teplotnú vodivosť stanovíme výpočtom zo vzťahu:

$$a = \frac{\lambda}{\rho \cdot c} \quad / 41 /$$

Okrem týchto hodnôt je zaujímavé poznat' i tepelnú jímavosť b, ktorá charakterizuje napr. množstvo tepla odvedeného z pokožky pri krátkodobom kontakte s textiliou, a tak čiastočne objektivizuje ohmat textilie.

Tepelná jímavosť je definovaná vzťahom /42/:

$$b = \sqrt{\lambda \rho c} \quad / 42 /$$

V mikropočítači prístroja je vložený program jak pre výpočet uvedených veličín, tak pre korekciu niektorých vlastných principiálnych chýb prístroja, ako napr. chyby spôsobenej nenulovým tepelným odporom snímačov tepelného toku a chyby spôsobenej odvodom tepla mimo oblasť snímačov.

#### Popis konštrukcie prístroja

Prístroj sa skladá zo 4 časti. Hlavnú časť tvorí meriaca jednotka zostávajúca zo základnej, meracej hlavice

uloženej na zvislom posuvnom vedení a z mechanizmu merania hrúbky vzorku. Tepelnoizolované jadro hlavice je elektricky vyhrievané na zvolenú teplotu. Meranie začína na rýchlym spustením hlavice prostredníctvom elektromotoricky poháňaného pohybového mechanizmu na vzorok, položený na základne o teplete okolia. Snímače merajú nestacionárny tepelný tok textílií. Po ustálení je hlavica pritisknutá na vzorok definovaným prítlakom a zdvihnutá do východzej polohy. Súčasne je pôvodnou metódou meraná hrúbka vzorku.

Malý riadiaci mikropočítač na bázi procesorovej dosky JPR-1 obsahuje zosilovače, analogový multiplex a analogočíslicový prevodník pre vstup signálov snímačov tepelného toku a teplomerov a pre vstup a výstup logických riadiacich signálov včetne impulzného výstupu regulácie vytápanej hlavice.

Mikropočítač prevádzka štatistické vyhodnotenie súboru max. 10 meraní, vypočíta hodnotu tepelnej vodivosti, teplotnej vodivosti, plošného tepelného odporu, tepelnej kapacity, jímavosti, pomer špičkového a ustáleného tepelného toku a hrúbku vzorky, strednú hodnotu a smerodatnú odchylku.

Konečná varianta prístroja by však mala umožniť meranie v širšom teplotnom rozsahu než doposiaľ /včetne záporných teplôt/, istú pozornosť bude nutno ešte venovať odstránenie okrajových vplyvov pri meraní textílií väčšej hrúbky.

#### 4.3 Podmienky experimentov a dosiahnuté výsledky pri meraní zvukovej pohltivosti

---

Cieľom experimentálnych prác pri meraní zvukovej pohltivosti pripravených izolačných textilných plstí bolo vzájomné porovnanie účinnosti jednotlivých typov vlákien na dosiahnutú úroveň zvukovej pohltivosti -  $\lambda$ .

Uvedené experimenty boli vykonané s vedomím, že podstatný vplyv v tomto smere bude mať makroštruktúra textilného útvaru, ktorá však v našom prípade bola ovplyvnená:

- rôznou jemnosťou použitého vlákna
- rôznou schopnosťou jednotlivých typov vlákien kmitať pri dopade mechanickej vlny vo vytvorennej štruktúre
- približne rovnakými technologickými podmienkami prípravy izolačných plstí s rôznou plošnou hmotnosťou.

Pripravené vzorky izolačných plstí boli podrobene hodnoteniu úrovne zvukovej pohltivosti podľa metodiky uvedenej v kapitole 4.2.3 na interferometri - Kundtová trubica, typ 4002.

Rozsah frekvencií bol stanovený tak, aby pokryl najviac sledovanú oblast' počutelnosti ľudským sluchom.

Hodnoty zvukovej pohltivosti uvedené pre jednotlivé typy plstí v tab. č. 8 - 12, boli vypočítané na základe nameraných hodnôt minimálneho a maximálneho akustického tlaku stojatej vlny podľa vzťahov / 25/ a / 29 / uvedených v kapitole 4.2.3.

Z dôvodov obmedzeného rozsahu diplomovej práce neuvádzam v tabuľkovom prehľade namerané hodnoty akustických tlakov, ale priamo vypočítané hodnoty zvukovej pohltivosti.

Pre kompletnejšie zhodnotenie vplyvov jednotlivých parametrov izolačných plstí na sledovanú úroveň zvukovej pohltivosti boli vo forme grafických závislostí vyhodnotené nasledovné:

- zvuková pohltivosť  $\alpha / \% / = f / \text{frekvencia} - f / \text{Hz} /$
- zvuková pohltivosť  $\alpha / \% / = f / \text{plošná hmotnosť} - m / \text{kg} \cdot \text{m}^{-2} /$
- zvuková pohltivosť  $\alpha / \% / = f / \text{objemová hmotnosť} - \rho / \text{kg} \cdot \text{m}^{-3} /$

Jednotlivé grafické závislosti sú uvedené v prílohe.

| Vzorka<br>č. | Použité frekvencie / Hz / |      |      |      |      |       | Zvuková pohltivosť - $\alpha$ - / % / |
|--------------|---------------------------|------|------|------|------|-------|---------------------------------------|
|              | 125                       | 250  | 500  | 1000 | 1600 | 2500  |                                       |
| 1            | -                         | -    | -    | -    | -    | -     | -                                     |
| 2            | 0,76                      | 1,24 | 5,26 | 3,82 | 4,01 | 9,09  | 13,68                                 |
| 3            | 0,86                      | 1,32 | 6,20 | 5,07 | 5,16 | 10,09 | 15,42                                 |
| 4            | 0,74                      | 1,26 | 6,45 | 5,55 | 6,66 | 11,79 | 18,64                                 |
| 5            | 0,85                      | 1,37 | 7,09 | 6,33 | 8,02 | 18,14 | 18,63                                 |
| 6            | 0,70                      | 1,67 | 7,69 | 7,63 | 9,56 | 18,14 | 25,28                                 |
|              |                           |      |      |      |      |       | 29,57                                 |

Tab. č. 8 Zistené hodnoty zvukovej pohltivosti pre rúna z POPs - jemnosti 17 dtex

| Vzorka<br>č. | Použité frekvencie / Hz /      |      |      |      |       |       |       |       |
|--------------|--------------------------------|------|------|------|-------|-------|-------|-------|
|              | 125                            | 250  | 500  | 1000 | 1600  | 2500  | 3150  | 4000  |
|              | Zvuková pohltivosť - d - / % / |      |      |      |       |       |       |       |
| 1            | 0,58                           | 0,92 | 4,64 | 9,60 | 3,50  | 7,70  | 13,90 | 12,20 |
| 2            | 0,87                           | 1,08 | 5,20 | 3,90 | 5,30  | 7,60  | 13,20 | 16,40 |
| 3            | -                              | 0,92 | 4,68 | 4,90 | 4,40  | 8,50  | 15,10 | 11,80 |
| 4            | -                              | 1,16 | 5,90 | 8,00 | 5,90  | 11,40 | 22,10 | 19,90 |
| 5            | -                              | 1,22 | 7,40 | 7,20 | 8,70  | 17,90 | 26,50 | 31,70 |
| 6            | 1,98                           | 1,21 | 8,50 | 9,50 | 12,70 | 19,10 | 32,70 | 33,70 |

Tab. č. 9 Zistené hodnoty zvukovej pohltivosti pre rúna z POPs-D jemnosti 35 dtex

| Vzorka<br>č.                          | Použité frekvencie / Hz / |      |      |       |      |       |       |       |
|---------------------------------------|---------------------------|------|------|-------|------|-------|-------|-------|
|                                       | 125                       | 250  | 500  | 1000  | 1600 | 2500  | 3150  | 4000  |
| Zvuková pohltivosť - $\alpha$ - / % / |                           |      |      |       |      |       |       |       |
| 1                                     | 0,62                      | 1,10 | 5,44 | 5,16  | 4,40 | 9,40  | 11,90 | 11,60 |
| 2                                     | 0,70                      | 0,97 | 5,65 | 7,57  | 4,50 | 8,60  | 12,90 | 11,10 |
| 3                                     | 0,70                      | 0,98 | 5,44 | 8,36  | 4,30 | 7,80  | 11,80 | 11,50 |
| 4                                     | 0,69                      | 1,29 | 6,38 | 6,20  | 6,70 | 12,30 | 14,90 | 19,90 |
| 5                                     | 0,76                      | 0,43 | 7,60 | 8,33  | 8,90 | 14,80 | 27,40 | 28,10 |
| 6                                     | 0,78                      | 1,50 | 8,23 | 10,59 | 8,20 | 13,10 | 19,70 | 22,90 |

Tab. č. 10 Zistené hodnoty zvukovej pohltivosti pre rúna z POPs-AP jemnosti 15,8 dtex

| Vzorka<br>č.                          | Použité frekvencie / Hz / |      |      |       |       |       |       |       |
|---------------------------------------|---------------------------|------|------|-------|-------|-------|-------|-------|
|                                       | 125                       | 250  | 500  | 1000  | 1600  | 2500  | 3150  | 4000  |
| Zvuková pohltivosť - $\alpha$ - / % / |                           |      |      |       |       |       |       |       |
| 1                                     | 0,78                      | 1,03 | 5,45 | 6,80  | 4,60  | 9,10  | 14,60 | 15,10 |
| 2                                     | 0,73                      | 1,11 | 5,50 | 5,59  | 5,30  | 11,60 | 17,90 | 18,30 |
| 3                                     | 0,70                      | 1,40 | 6,32 | 6,41  | 5,60  | 10,30 | 15,50 | 14,00 |
| 4                                     | 0,70                      | 1,29 | 8,06 | 8,91  | 7,80  | 13,50 | 19,50 | 22,60 |
| 5                                     | 0,91                      | 1,47 | 8,79 | 11,19 | 10,10 | 19,60 | 27,90 | 33,10 |
| 6                                     | 0,59                      | 1,38 | 7,13 | 11,15 | 11,90 | 22,90 | 31,50 | 39,20 |

Tab. č.11 Zistené hodnoty zvukovej pohltivosti pre rúna z POPs-AP jemnosti 18 dtex

| Vzorka<br>č.                   | Použité frekvencie / Hz / |      |      |      |      |       |       |       |
|--------------------------------|---------------------------|------|------|------|------|-------|-------|-------|
|                                | 125                       | 250  | 500  | 1000 | 1600 | 2500  | 3150  | 4000  |
| Zvuková pohltivosť - A - / % / |                           |      |      |      |      |       |       |       |
| 1                              | 0,82                      | 1,19 | 4,83 | 3,34 | 3,00 | 5,55  | 10,80 | 9,90  |
| 2                              | 0,69                      | 1,15 | 5,33 | 4,65 | 3,13 | 6,18  | 10,80 | 9,50  |
| 3                              | 0,88                      | 1,38 | 6,39 | 6,79 | 4,44 | 8,89  | 15,20 | 14,30 |
| 4                              | 0,73                      | 1,24 | 9,89 | 7,32 | 5,25 | 8,51  | 15,50 | 15,60 |
| 5                              | 0,86                      | 1,11 | 5,31 | 8,42 | 5,72 | 9,98  | 19,30 | 18,10 |
| 6                              | 0,79                      | 1,45 | 7,42 | 9,34 | 7,52 | 14,51 | 23,70 | 24,50 |

Tab. č.12 Zistené hodnoty zvukovej pohltivosti pre rúna z POPs-AP jemnosti 23,2 dtex

#### 4.3.1 Diskusia výsledkov z merania zvukovej pohltivosti

Výsledky uvedené v kapitole 4.3 a grafické závislosti v prílohe sú podkladom k diskusii a porovnaniu účinnosti jednotlivých typov použitých vlákien a vzťahu parametrov k úrovni zvukovej pohltivosti. Základné porovnanie uvádzam k POPs - štandardnému vláknu a dosiahnutý rozdiel pri použití speciálnych typov vlákien.

Nakol'ko namerané hodnoty zvukovej pohltivosti ✓ v rozsahu nižších frekvencií od 125 - 500 Hz nezaznamenali podstatný rozdiel /t.j. nad 5 %/ nie sú predmetom uvádzaného porovnania.

Z porovnania dosiahnutej úrovne zvukovej pohltivosti, v závislosti od frekvencie pri rôznej úrovne plošnej hmotnosti uvedeného na grafoch č. 5 až 9 vyplýva, že jednoznačne bola najvyššia pohltivosť dosiahnutá u vlákna POPs - AP s jemnosťou 18,0 dtex. Naopak hrubší typ vlákna sa v tomto smere prejavuje negatívne, čo potvrdzuje prípad aplikácie POPs - AP 23,2 dtex, POPs - D 35 dtex, pri porovnaní so štandardom POPs.

Priebeh závislosti u POPs - AP 15,8 dtex je v podstate na úrovni štandardu.

Zaujímavé je však konštatovanie, že pri nižších frekvenciach /500 - 1600 Hz/ u každého typu

špeciálneho vlákna bola dosiahnutá vyššia pohltivosť ako u štandardu. Posunom k vyšším frekvenciám dochádza postupne k zmene. Z uvedeného je možné predpokladat', že zatiaľ čo pri nižších frekvenciach sa podstatnejšie prejavuje vplyv mikroštruktúry použitých vláken /napr. modul pružnosti/, pri vyšších frekvenciach sú tieto vplyvy prekryté vplyvom makroštruktúry materiálu.

Pri zmene premenných  $\lambda$ , m, f/ sa najmä pri frekvenci 3150 Hz a 4000 Hz dostáva na úroveň POPs - AP 18 dtex aj POPs - D, čiastočne aj POPs - AP 15,8 dtex, ktoré dosahujú vyššiu pohltivosť ako štandard.

Uvedené konštatovanie vyplýva najmä z grafu č. 12 a 13 a tento rozdiel je podstatnejší so zvyšujúcou sa plošnou hmotnosťou.

Vplyv objemovej hmotnosti pri  $f /Hz/ = \text{konšt.}$  na úroveň pohltivosti zvuku, uvedený na grafoch č. 14 - 17 má v podstate rovnaký priebeh u všetkých typov použitých vláken. Je zaujímavé, že v rozsahu hodnôt objemovej hmotnosti okolo  $0,09 \cdot 10^3 \text{ kg} \cdot \text{m}^{-3}$  dochádza k poklesu úrovne pohltivosti v podstate u všetkých frekvencií. Je možné predpokladat', že bola stanovená určitá medzná hodnota, pri ktorej je izolačná schopnosť materiálu značne nižšia. Pomer jednotlivých typov vláken vo vzťahu k úrovni pohltivosti a porovnaní so štandardom sa v podstate zachoval, výraznejšie sa však prejavilo POPs - duté vlákno a POPs - AP 15,8 dtex/90 mm.

Záverom tejto časti je možné konštatovať, že z hľadiska zvukovej pohltivosti sa u niektorých typov kladne prejavil vplyv ich špeciálnej úpravy oproti štandardnej POPs.

#### 4.4 Podmienky experimentov a dosiahnuté výsledky pri meraní tepelnej vodivosti

---

Meranie tepelnej vodivosti a ostatných teplotných charakteristik prístrojom ALAMBETA 07 bolo vykonané v podmienkach laboratória katedry NT na VŠST v Liberci. Podmienky merania boli výhodné, napokolko premeranie jedného vzorku netrvalo dlhšie ako 50 s. Každá vzorka bola hodnotená 6 krát a zistené priemerné hodnoty sú uvedené v tab. č. 13 - 17. V nasledujúcich tabuľkách sú uvedené zistené tepelné vodivosti a ostatné teplotné charakteristiky.

V tab. č. 13 a 17 nie sú uvedené hodnoty zistovaných charakteristik textilného rúna z POPs - D 35 dtex a textilného rúna z POPs - štandard 17 dtex, plošnej hmotnosti  $800 \cdot 10^{-3} \text{ kg} \cdot \text{m}^{-2}$ , napokolko hrúbky vzoriek prešahovali povolený rozsah prístroja. Taktiež nie sú uvedené hodnoty textilného rúna POPs - štandard 17 dtex, plošnej hmotnosti  $200 \cdot 10^{-3} \text{ kg} \cdot \text{m}^{-2}$ , napokolko táto vzorka nebola pripravená.

Zo zistených hodnôt tepelnej vodivosti boli vypracované jednotlivé závislosti parametrov v nasledovnom rozsahu:

- tepelná vodivost'  $\lambda = f /$  plošnej hmotnosti - m /
- tepelná vodivost'  $\lambda = f /$  objemovej hmotnosti - q /
- tepelná vodivost'  $\lambda = f /$  hrúbky - h /
- plošný tepelný odpor - r = f / plošnej hmotnosti - m /

Uvedené sú v prílohe na grafoch č. 1 - 4.

| Vzor.<br>č. | Tepelná<br>vodivost'<br>$\lambda / 10^{-3} \text{Wm}^{-1}\text{K}^{-1}$ | Tepelná<br>vodivost'<br>$/ 10^{-6} \text{m}^2 \text{s}^{-1}$ | Tepelná<br>jímovost'<br>$/ 1 /$ | Pomer<br>špičkového<br>a ustáleného<br>tepelného<br>toku | Plošný<br>tepelný<br>odpor<br>$/ 10^{-3} \text{W}^{-1} \text{Km}^{-2} /$ |
|-------------|---|--|---------------------------------|--|--|
| 1           | -   | -  | -                               | -  | -  |
| 2           | 59,3  | 0,921  | 61,9                            | 5,25   | 112,0  |
| 3           | 58,5  | 0,771  | 67,0                            | 5,71   | 129,7  |
| 4           | 60,4  | 0,779  | 68,5                            | 5,34   | 129,3  |
| 5           | 62,8  | 0,792  | 71,7                            | 4,95   | 129,1  |
| 6           | -   | -  | -                               | -  | -  |

Tab. č. 13 Zistené hodnoty tepelnej vodivosti a ďalších teplotných charakteristik

text. rúna z POPs jemnosti 17 dtex

| Vzor.<br>č. | $\lambda$<br>$/10^{-3} \text{Wm}^{-1}\text{K}^1/$ | a<br>$/10^{-6} \text{m}^2 \text{s}^{-1}/$ | b<br>$/1/$ | p<br>$/1/$ | r<br>$/10^{-3} \text{W}^{-1}\text{Km}^{-2}/$ |
|-------------|---|---|------------|------------|--|
| 1           | 57,3  | 1,330                                     | 50,5       | 3,79       | 84,2   |
| 2           | 57,9  | 0,899                                     | 61,3       | 4,99       | 115,0  |
| 3           | 57,4  | 0,992                                     | 58,1       | 4,97       | 119,0  |
| 4           | 58,7  | 1,160                                     | 54,7       | 5,17       | 150,0  |
| 5           | 59,2  | 1,490                                     | 48,5       | 5,36       | 169,0  |
| 6           | -   | -   | -          | -          | -  |

Tab. č. 14 Zistené hodnoty tepelnej vodivosti a ďalších teplotných charakteristik text. rúna z POPS - D jemnosti 35 dtex.

| Tepelná vodivost' | Teplotná vodivost'                              | Tepelná jímavost'                    | Pomer špičkového a ustáleného tepelného toku | Plošný tepelný odpor                      |
|-------------------|---|--------------------------------------|--|---|
| Vzor. č.          | $\lambda / 10^{-3} \text{Wm}^{-1}\text{K}^{-1}$ | $/ 10^{-6} \text{m}^2 \text{s}^{-1}$ | $/ \text{l} /$                               | $/ 10^{-3} \text{W}^{-1}\text{Km}^{-2} /$ |
|                   | a   | b                                    | p  | r   |
| 1                 | 53,3  | 0,832                                | 58,8   | 93,8                                      |
| 2                 | 53,4  | 0,806                                | 59,6   | 106,0                                     |
| 3                 | 53,7  | 0,804                                | 60   | 124,0                                     |
| 4                 | 54,8  | 0,634                                | 69,1   | 118,1                                     |
| 5                 | 54,6  | 0,814                                | 61,2   | 159,3                                     |
| 6                 | 53,3  | 0,852                                | 57,5   | 140,0                                     |

Tab. č. 15 Zistené hodnoty tepelnej vodivosti a ďalších teplotných charakteristik textur rúna z POPS - AP jemnosti 15,8 dtex

| Vzor.<br>č. | $\lambda$<br>$/10^{-3} \text{Wm}^{-1}\text{K}^1/$ | Tepelná<br>vodivost' |      | Pomer<br>špičkového<br>a ustálené-<br>ho tepelné-<br>ho toku | Plošný<br>tepelný<br>odpor |
|-------------|---|----------------------|------|--|----------------------------|
|             |   | a                    | b    |  |                            |
| 1           | 54,2  | 0,812                | 60,2 | 5,27   | 97,8                       |
| 2           | 55,4  | 0,869                | 61,6 | 4,92   | 122,4                      |
| 3           | 54,3  | 0,763                | 62,2 | 6,08   | 107,0                      |
| 4           | 53,0  | 0,871                | 57,2 | 6,50   | 140,9                      |
| 5           | 54,6  | 0,666                | 67,4 | 6,24   | 141,0                      |
| 6           | 55,2  | 0,785                | 62,5 | 6,52   | 168,5                      |

Tab. č. 16 Zistené hodnoty tepelnej vodivosti a ďalších teplotných charakteristik

text. rúna z POPs - AP jemnosti 18 dtex

| Vzor.<br>č. | $\lambda$<br>$/10^{-3} \text{Wm}^{-1}\text{K}^{-1}/$ | a<br>$/10^{-6} \text{m}^2\text{s}^{-1}/$ | b<br>$/1/$ | p<br>$/1/$ | r<br>$/10^{-3} \text{W}^{-1}\text{Km}^{-2}/$ |
|-------------|--|--|------------|------------|--|
| 1           | 56,7   | 1,020                                    | 56,2       | 5,00       | 102,5  |
| 2           | 56,1   | 1,090                                    | 54,2       | 5,11       | 112,5  |
| 3           | 56,1   | 0,896                                    | 59,5       | 4,74       | 122,6  |
| 4           | 58,0   | 0,869                                    | 62,8       | 4,88       | 130,3  |
| 5           | 58,2   | 0,818                                    | 65,3       | 4,56       | 133,3  |
| 6           | 59,1   | 1,010                                    | 58,5       | 4,77       | 155,9  |

Tab. č. 17 Zistené hodnoty tepelnej vodivosti a ďalších teplotných charakteristik

text. rúna z POPs - AP jemnosti 23,2 dtex

#### 4.4.1 Diskusia výsledkov z merania tepelnej vodivosti

Vypracované závislosti vo všetkých štyroch prípadoch / $\lambda = f /m, \rho, h/a r = f /m/$  potvrdzujú, že vo vzťahu k tepelnoizolačným vlastnostiam je rozdiel štandardných POP vlákien a špeciálnych POP vlákien /dutých a anorganicky plnených/ podstatný.

V prvom rade z porovnania vyplýva, že sa výrazne prejavila výhoda jemnejších typov vlákien /15,8 a 18 dtex/ najmä AP. Nepodstatný nezostáva fakt, že v tomto hodnotení sa výrazne neprejavili predpokladané vyššie izolačné vlastnosti u dutého vlákna.

Zatiaľ, čo u POPs - AP 15,8 dtex je priebeh tepelnej vodivosti vo všetkých troch prípadoch málo závislý od rozsahu parametra, u ďalších typov vlákien má závislosť strmejší priebeh.

Podstatný vplyv izolačných vlastností špeciálnych typov vlákien sa ukazuje pri hodnotení plošného tepelného odporu, tak ako je uvedený v tab. č. 13 - 17 a grafe č. 4. Zatiaľ, čo pre štandardné vlákno sa podstatne <sup>ne</sup>mení s plošnou hmotnosťou a zostáva na rovnakej úrovni, u špeciálnych sa plošný odpor s hmotnosťou podstatne zvyšuje.

V tomto prípade sa ako najvhodnejšie javia POP vlákná AP s jemnosťou 18 dtex a POP - D vlákno.

Bolo potvrdené, že zmena tepelnoizolačných vlastností textilného plošného útvaru je kladne ovplyvnená použitím špeciálnych typov vlákien. Aj v tomto prípade je účinnejšie vlákno plnené anorganickým plnidlom /vápencom/ ako s dutým priestorom v profile vlákna.

## 5.0 ZÁVER

---

Predmetom mojej diplomovej práce bolo zhodnotenie tepelnoizolačných a zvukovoizolačných vlastností plošných textilných útvarov obsahujúcich špeciálne POP vlákna v porovnaní so štandardným vláknom.

K zistovaniu fyzikálnych hodnôt bolo použité celkom dvadsaťdeväť vzoriek.

Výsledky meraní potvrdili, že najlepšie tepelnoizolačné vlastnosti dosiahli vzorky s POP - AP s jemnosťou v rozsahu 15,8 - 18 dtex. Bolo potvrdené, že podiel anorganickej hmoty v organickom polymére sa kladne prejaví vo vzťahu k tepelnej izolácii. Ten-to potvrdený predpoklad je možné ďalej využiť v hľadaní náhrady minerálnych vlákiem /sklenené, azbestové/ ako izolačných materiálov tam, kde napr. z hľadiska životného a pracovného prostredia ich aplikácia je nevýhodná.

Pri zhodnotení zvukovoizolačných vlastností nám poslúžili zistené hodnoty zvukovej pohltivosti λ. Porovnaním jednotlivých typov vlákiem, na základe dosiahnutej účinnosti zvukovej pohltivosti sa potvrdilo, že u POP - AP a POP - D vlákiem bola dosiahnutá vyššia účinnosť /asi 10 % - AP a 4-5 % - D/, opro-

ti štandardu.

Vyššia účinnosť AP vlákien je možné vysvetliť ich podstatne priaznivejšou elasticitou /YOUNGOV modul pružnosti/, ale aj čiastočným vplyvom poréznosti a defektov na povrchu vlákna, ktoré priaznivo ovplyvňujú pohltivosť zvuku.

Z praktického hľadiska je možné využiť dosiahnuté výsledky diplomovej práce priamo na pracovisku, kde táto časť bola vykonaná pri optimalizácii parametrov zvukpohltivých materiálov pre automobilový priemysel.

V závere diplomovej práce chcem poďakovať vedúcemu katedry NT s. doc. Hesovi za umožnenie merania tepelných konštánt na prístroji ALAMBETA 07 a Ing. Jozefovi Šestákovovi z VÚTCH Žilina, ktorý mi pomáhal pri zaistovaní a príprave skúšobných vzoriek pre experimentálne práce a za umožnenie merania zvukovej pohltivosti na Kundtovej trubici, typ 4002.

## 6.0 LITERATÚRA

---

1. HORÁK, Z., KRUPICA, F., ŠINDELÁŘ, V.:  
Technická fyzika, SNTL Praha 1960
2. Ing. MERGL, V.:  
Dizertačná práca: Meranie sónického modulu PES vlákien, VÚV Brno, 1983
3. Ing. ŠESTÁK, J.:  
Izolačné textílie zo špeciálnych vlákien, VÚTCH Žilina, 1986
4. CLAUSON, D.:  
Transportation fabric, Ind. Fabr. Prod., 1983,  
č. 10 A, str. 110-111
5. Vliesstoffe im Fahr zeugbau  
Allgemeiner Vliesstofreport, 1976, č. 10, str. 346-  
- 347.
6. PARK, J.:  
The technology and Production of Fabrics for the  
Automotive Industry, Rev. Prog. Color., 1981, č.11,  
str. 19 - 24.
7. MOTTE, K. B.:  
Nonwoven Fabrics Attract Automakers, Automotive  
Engineering, 86, 1978, č. 5, str. 58 - 61.

8. IZYCKA, T.:  
Laboratoryje badania procesu wytwarzania samochodowych izolacji wyguszajacych, Cz. II.  
Zastosowanie zywicy fenolowej do wiazania izolacji,  
Technik Wokienniczy, XXXIII, 1984, č. 12, str. 353-355
9. KAZAKOWA, L. M. - ORLOVA, Z.N.:  
Novye prokladočnyje materialy dlja automobilnoj promyšlennosti, Tekstil'naja promyšlennost', 1985, č. 5, str. 58 - 59.
10. Coir in cars, High Performance Textiles, 1981, č. 9,  
str. 8
11. Teplozvukoizoljacionnyj prokladočnoj wetkanyj material s ispolzovanijem otchodov, Tekstil'naja promyšlennost', 1985, č. 2, str. 50
12. KLADINA, M. J., Ing.; KONJUCHOVA, Š.V., Ing.:  
Netkanoje polotno iz otchodov polia midnych nitej,  
Tekstil'naja promyšlennost', 1985, č. 2, str. 48 - 49
13. New Non xovens, High Performance Textiles, 1983, č. 7,  
str. 6
14. HOFINGER, G. Dr.:  
Polypropylenfasern und ihre wirtschaftliche Bedeutung,  
Chemiefasern Textilindustrie, 35/87, 1985, č. 11,  
str. 704 - 706
15. Automotive applications for nonwoven fabrics, Nonwoven Industry, 10, č. 6, 1979, str. 10, 50.

16. SCHNEIDER, H. - SUPANZ, P.:

Eiwsatz von Textilbelägen aus Polypropylen im Auto-mobil, Chemiefasern ITEXIL industrie, 31/83, 1981, č. 10, str. 756 - 759

17. Chemie - Linz reorients, Non wovens Industry, 1986, č. 5, str. 13

18. FOSS, S. W.:

Nonworens fabries in transportation, Nonwovens Indust-ry, 10, 1979, č. 6, str. 8, 10

19. Mikrofaser - Wir bel v liese für Autobezugsstoffe, Chemiefasern /Textilindustrie, 36, 88, 1986, č. 3, str. 514

20. Stancing Ware Apparatus Type 4002

Instruction Manual, firma Bréland Kjaer 1979

21. FLEMING, D.:

Use of nonwoven fabrics in the automotive industry, INDEX 81, Congres papers 7. Nonwoven for technical application, EDANA, Brussels, str. 109 - 121

22. PAJGR - REICHSTADTER - ŠEVČÍK a kol.:

Polypropylénové vlákna, ich vlastnosti, textilné spra-covanie a využitie

23. MORGAN, H.M. Co, Ing.:

Dynamie Modulus Tester PPM - 5R Instruktion

24. BLAŽEJ, A., ŠUTÁ, Š.:

Vlastnosti textilných vlákien

25. HLADÍK, V.:

Textilné vlákna

26. MICHLIK, P.:

Dizertačná práca: Štúdium prípravy špeciálnych typov

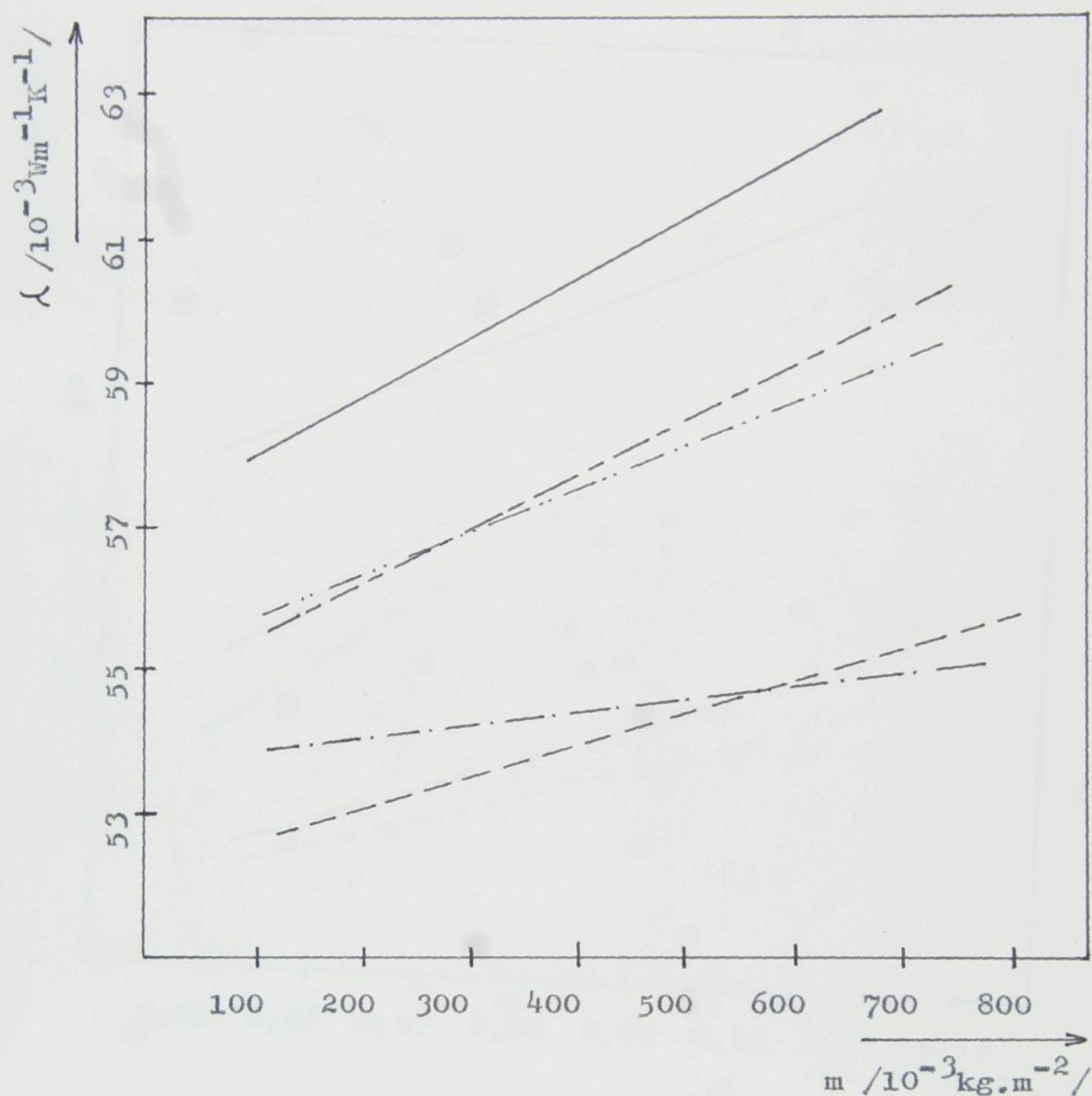
POP vlákien, VÚCHV Svit 1984

27. Doc. Ing. HES, L., Ing. DOLEŽAL, I.:

Meranie tepelnej kapacity a vodivosti textílií príst-

rojom ALAMBETA 07

Graf č. 1 Závislosť tepelnej vodivosti na plošnej  
hmotnosti



— POPs - 17 dtex/90

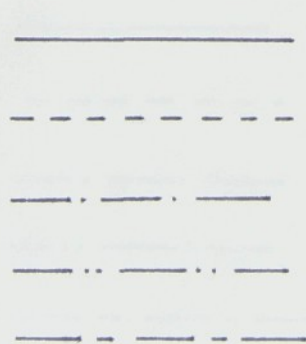
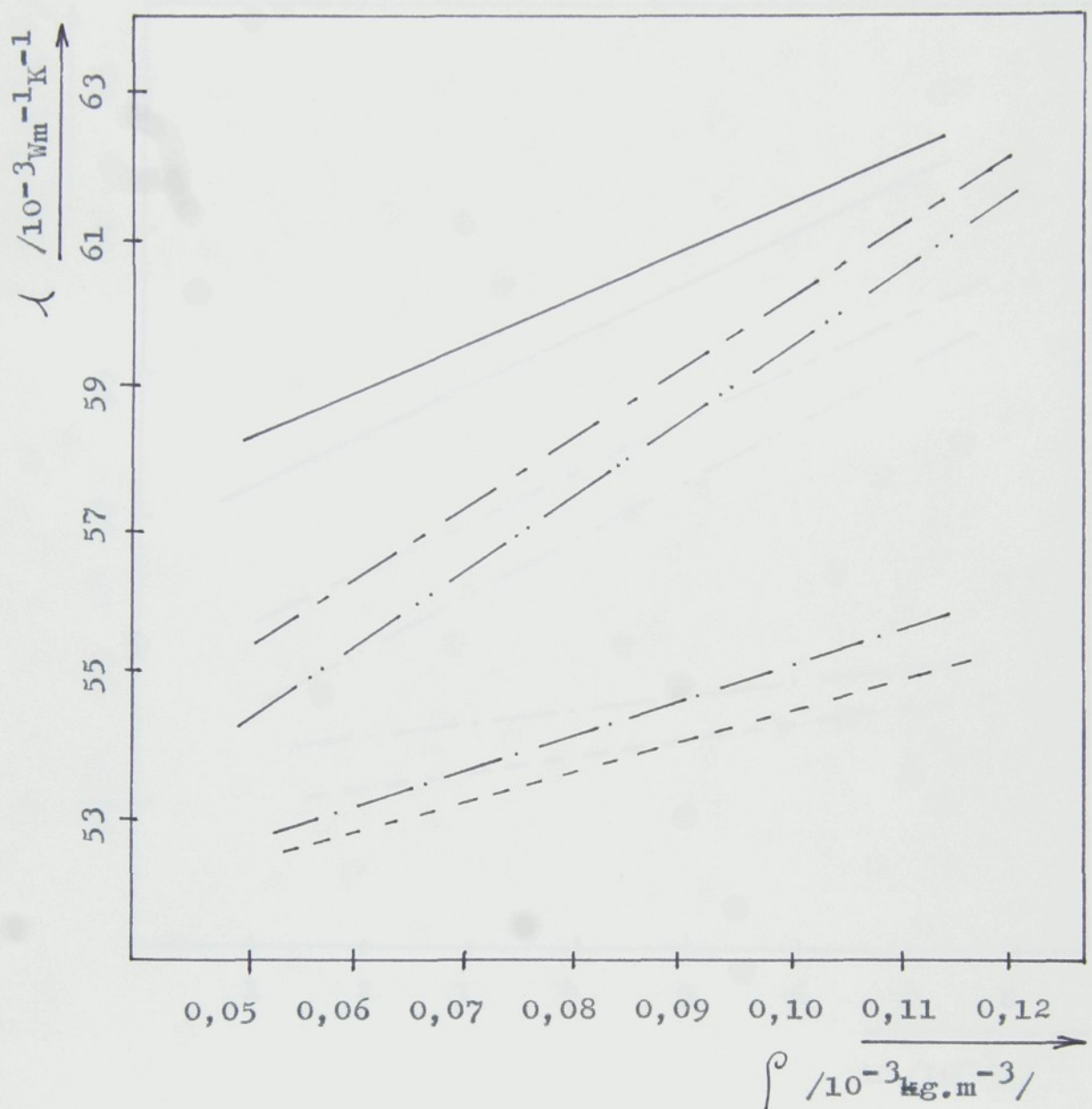
- - - POPs - AP 15,8 dtex/90

- - - - POPs - AP 18,0 dtex/90

- - - - - POPs - AP 23,2 dtex/90

- - - - - POPs - D 35 dtex/90

Graf č. 2 Závislosť tepelnej vodivosti na objemovej  
hmotnosti



POPs - 17 dtex/90

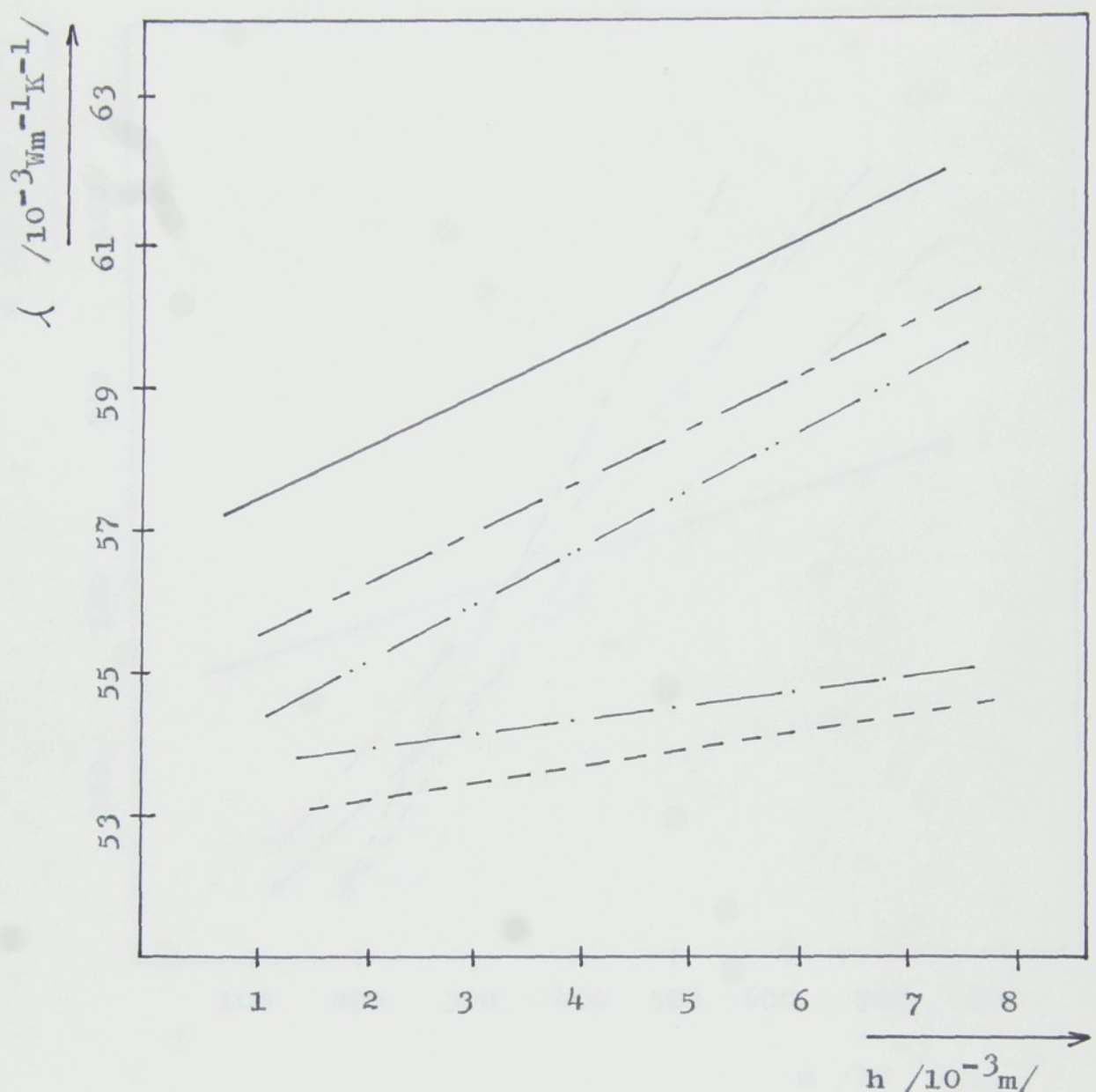
POPs - AP 15,8 dtex/90

POPs - AP 18,0 dtex/90

POPs - AP 23,2 dtex/90

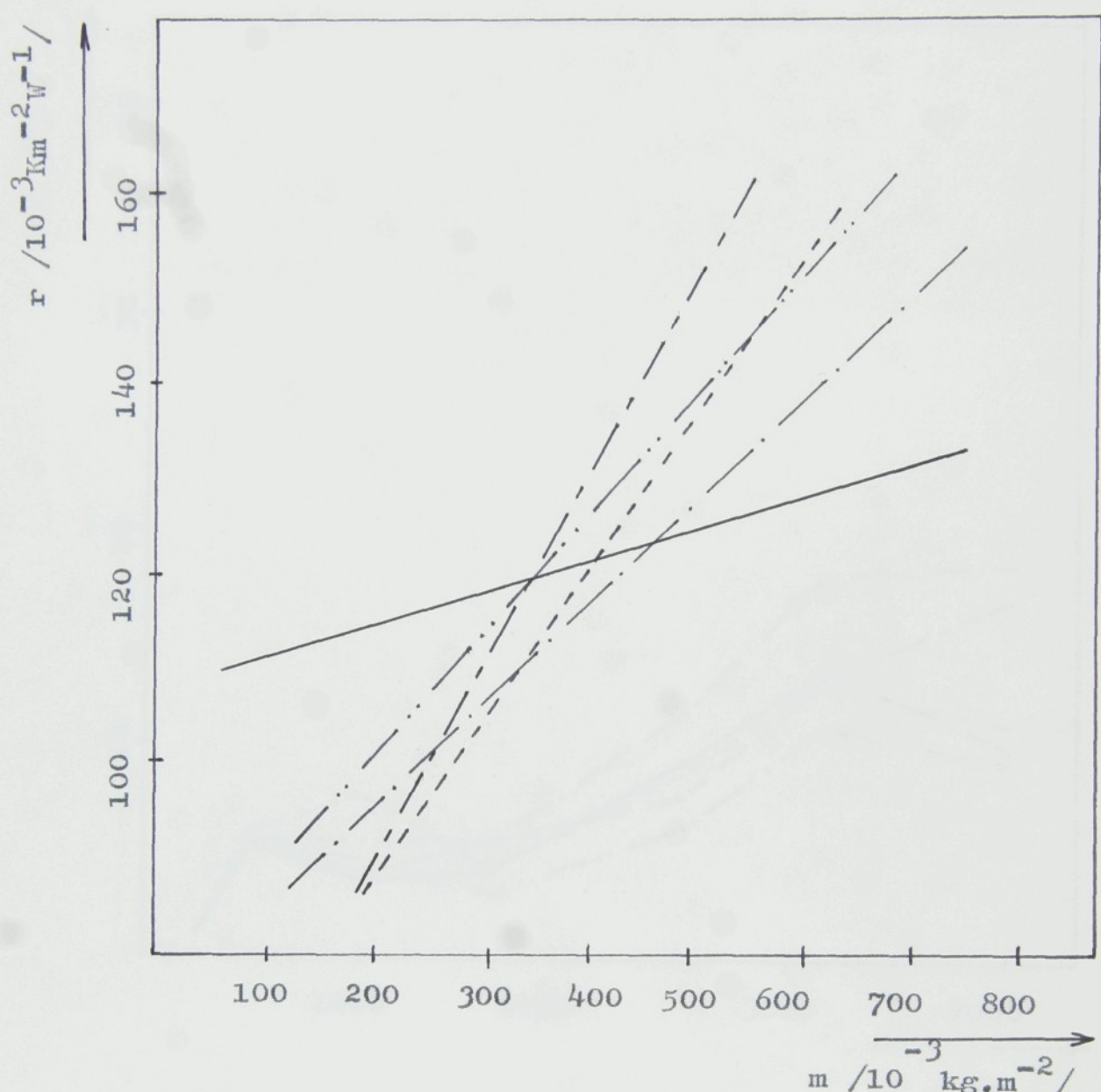
POPs - D 35 dtex/90

Graf č. 3 Závislosť tepelnej vodivosti na hrúbke  
vzoriek



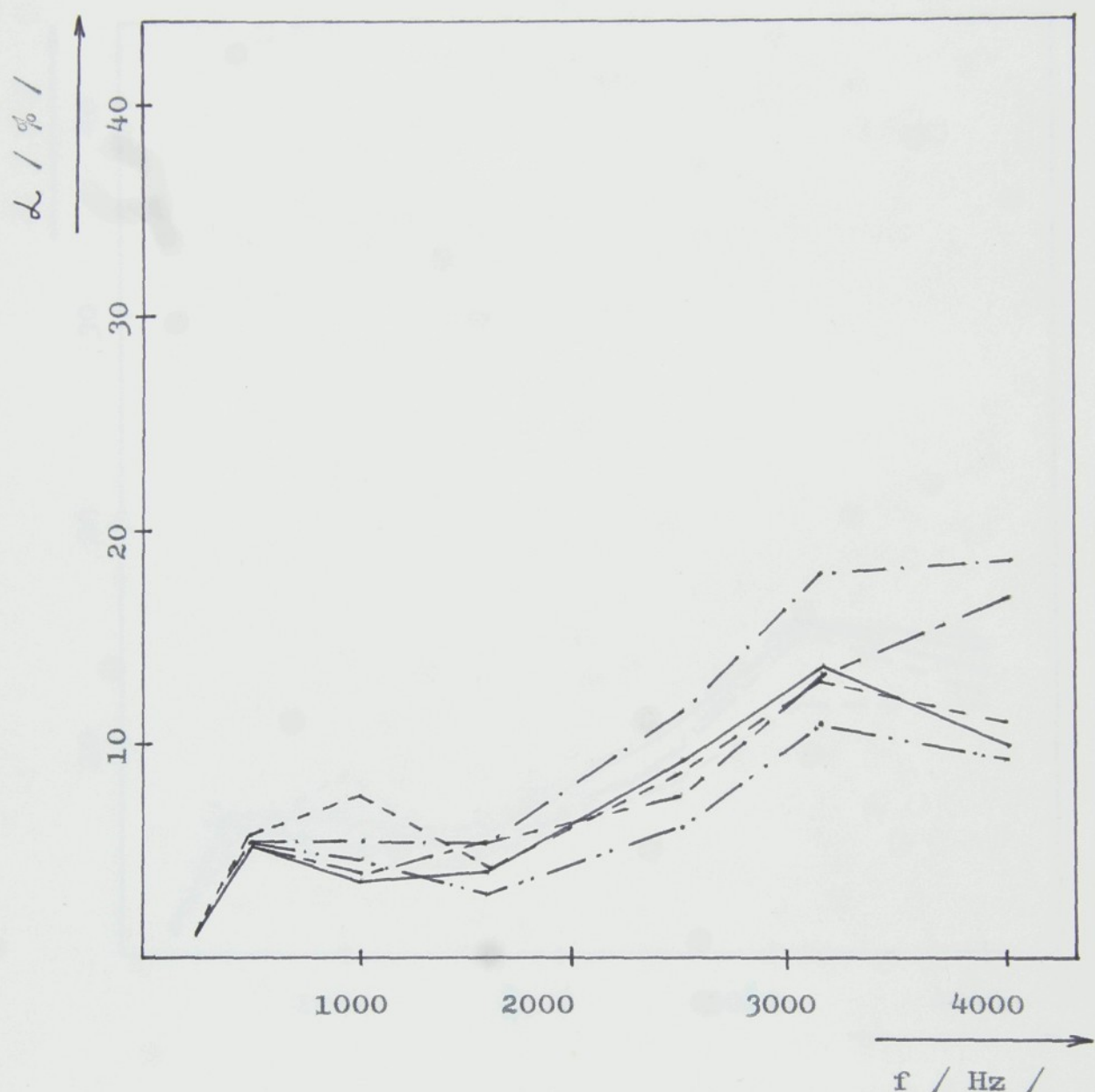
- POPs - 17 dtex/90
- - - - - POPs - AP 15,8 dtex/90
- · — POPs - AP 18,0 dtex/90
- · — · POPs - AP 23,2 dtex/90
- · - - - POPs - D 35 dtex/90

Graf č. 4 Závislost' plošného tepelného odporu  
na plošnej hmotnosti



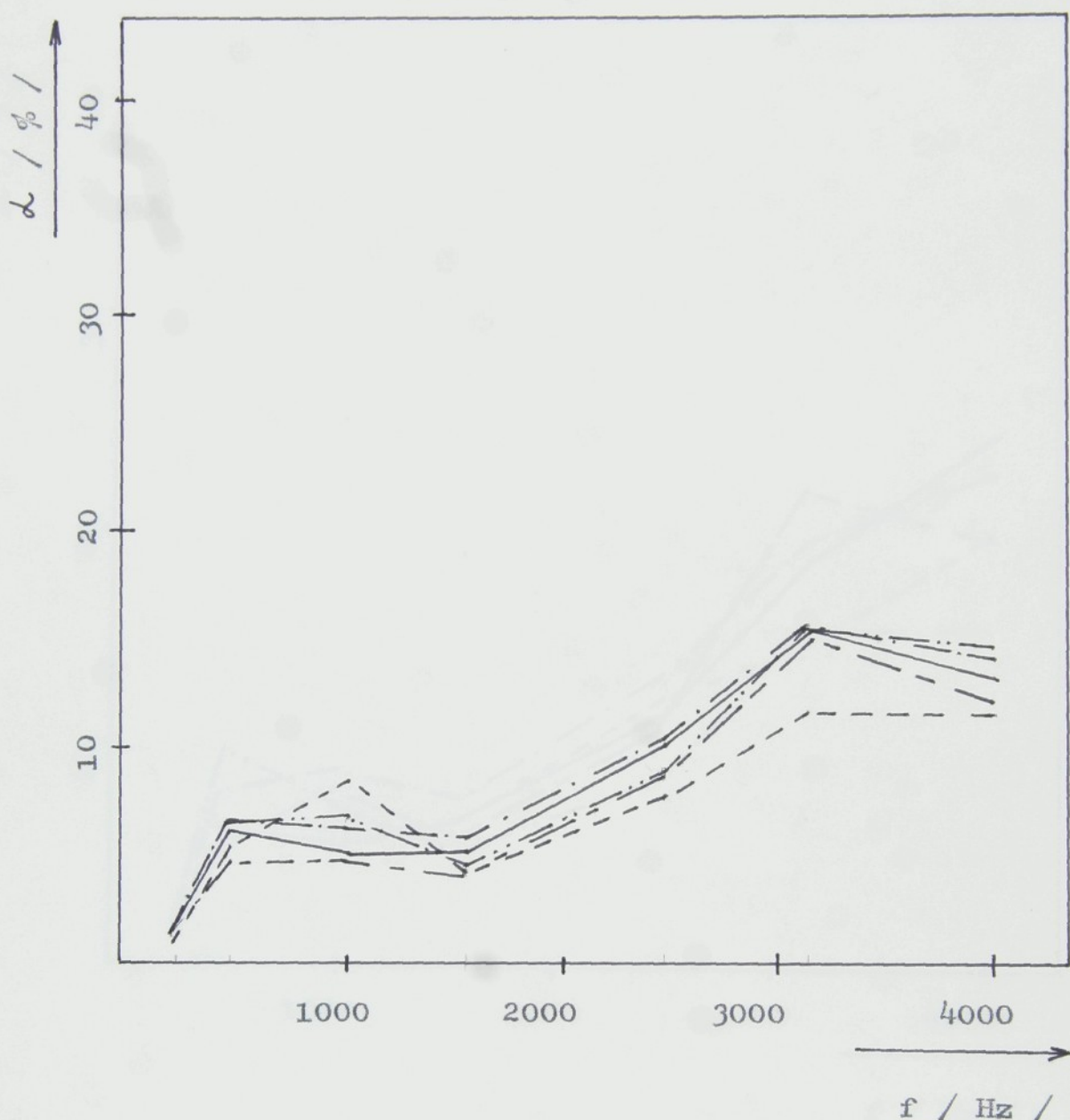
- POPs - 17 dtex/90
- - - - - POPs - AP 15,8 dtex/90
- · - · - POPs - AP 18,0 dtex/90
- - - - - POPs - AP 23,2 dtex/90
- - - - - POPs - D 35 dtex/90

Graf č. 5 Závislosť zvukovej pohltivosti na  
frekvencii pre plošnú hmotnosť  $300 \text{ g.m}^{-2}$



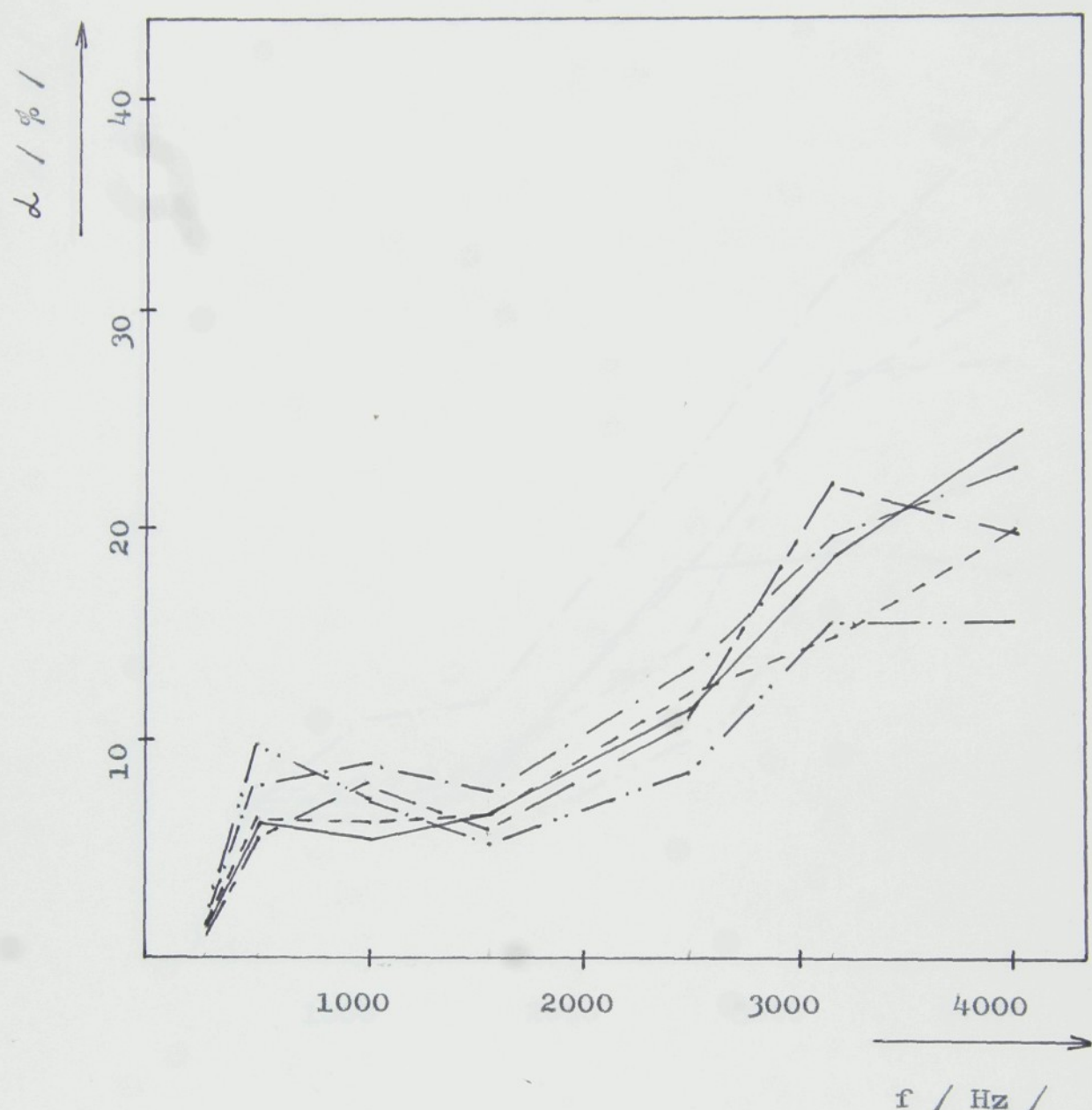
- POPs - 17 dtex/90
- - - POPs - AP 15,8 dtex/90
- · - POPs - AP 18,0 dtex/90
- ... - POPs - AP 23,2 dtex/90
- - - - - POPs - D 35 dtex/90

Graf č. 6 Závislosť zvukovej pohltivosti na frekvencii pre plošnú hmotnosť  $400 \text{ g} \cdot \text{m}^{-2}$



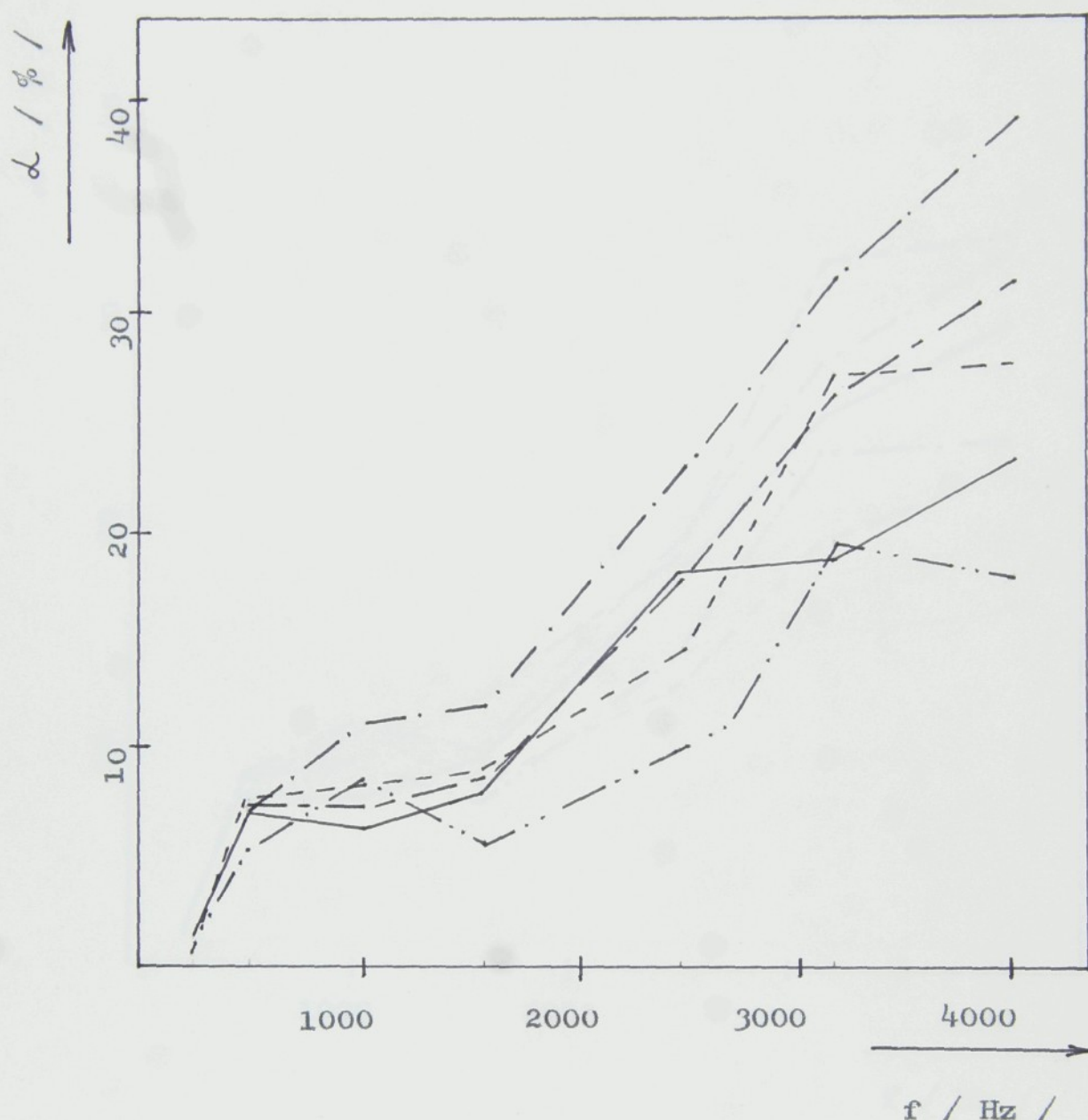
- POPs - 17 dtex/90
- - - POPs - AP 15,8 dtex/90
- · - POPs - AP 18,0 dtex/90
- · - · POPs - AP 23,2 dtex/90
- - - - POPs - D 35 dtex/90

Graf č. 7 Závislosť zvukovej pohltivosti na frekven-  
cií pre plošnú hmotnosť  $2 \times 200 \text{ g} \cdot \text{m}^{-2}$



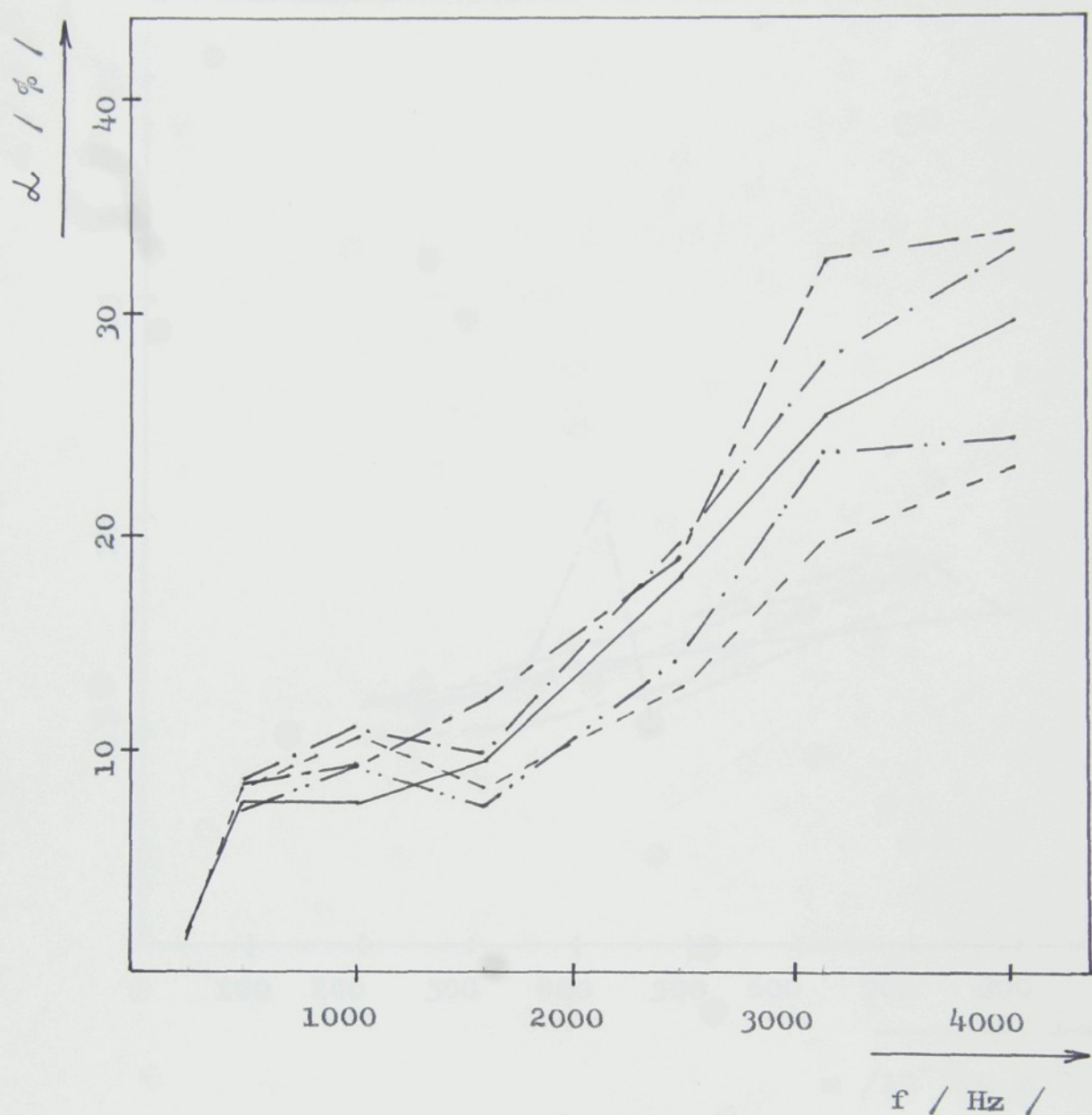
- POPs - 17 dtex/90
- - - POPs - AP 15,8 dtex/90
- · - POPs - AP 18,0 dtex/90
- .. - POPs - AP 23,2 dtex/90
- - - - - POPs - D 35 dtex/90

Graf č. 8 Závislosť zvukovej pohltivosti na frekvencii pre plošnú hmotnosť  $2 \times 300 \text{ g} \cdot \text{m}^{-2}$



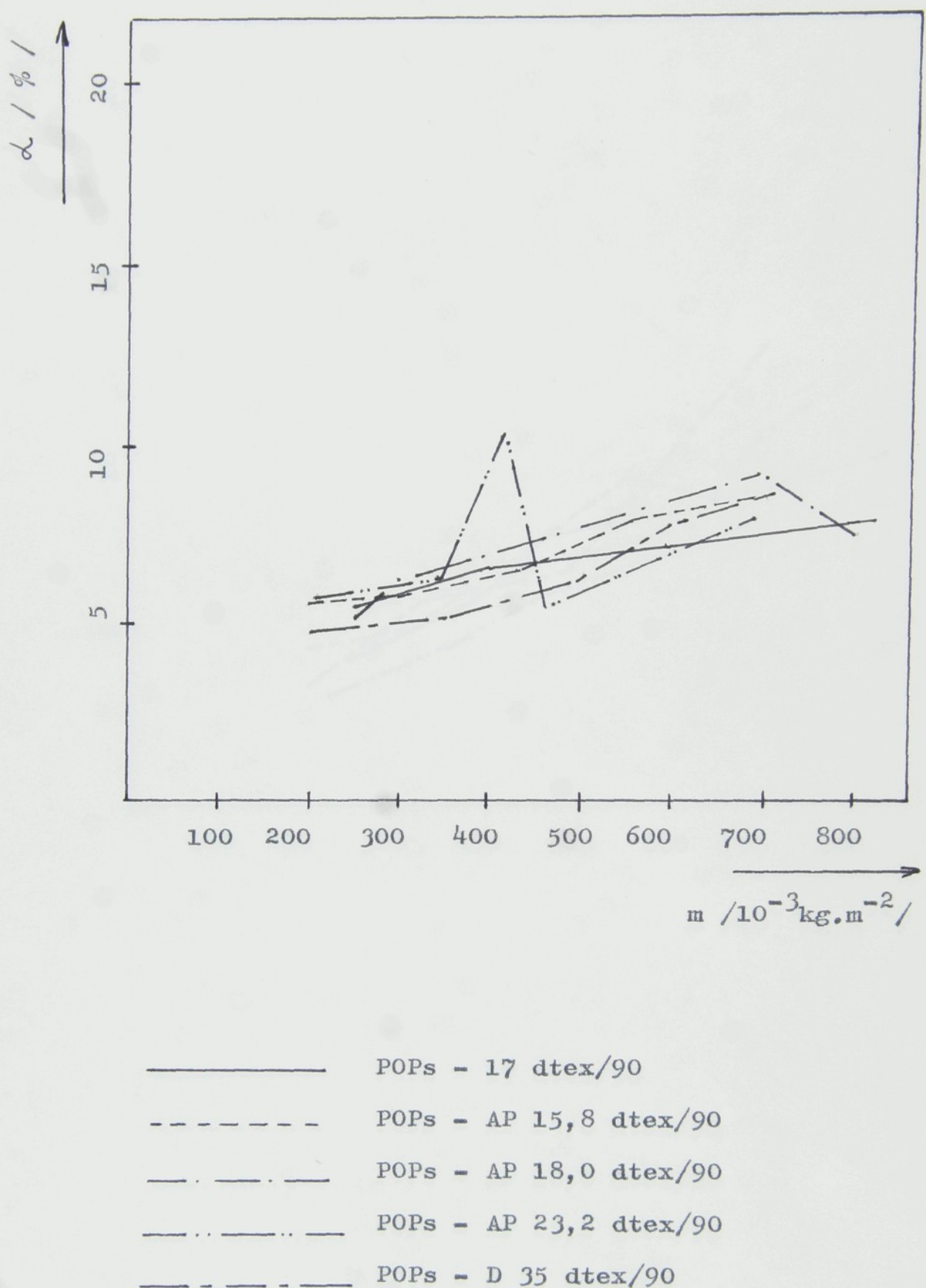
- POPs - 17 dtex/90
- - - POPs - AP 15,8 dtex/90
- · - - POPs - AP 18,0 dtex/90
- . - - POPs - AP 23,2 dtex/90
- - - - - POPs - D 35 dtex/90

Graf č. 9 Závislosť zvukovej pohltivosti na frekvencii pre plošnú hmotnosť  $2 \times 400 \text{ g.m}^{-2}$

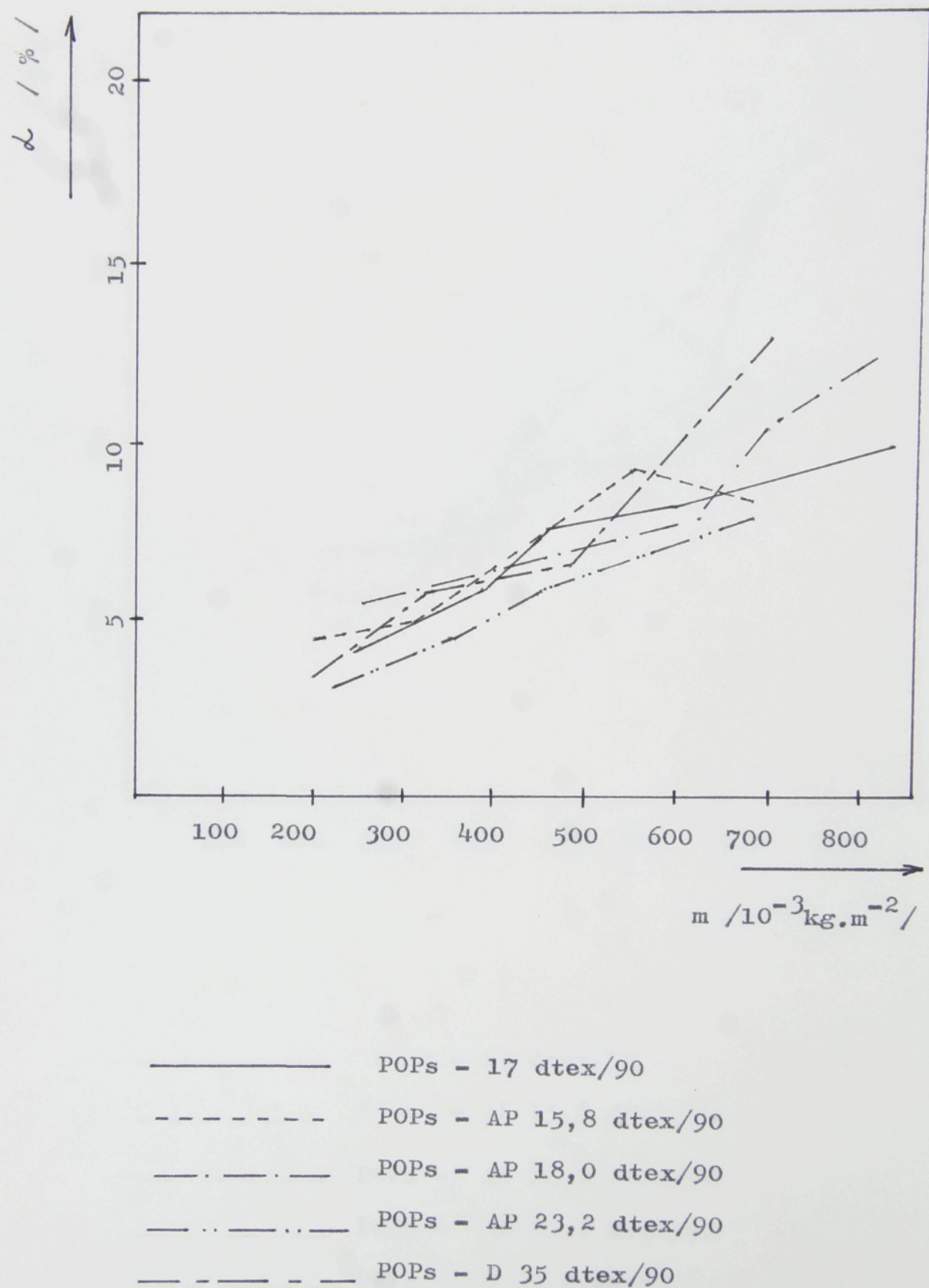


- POPs - 17 dtex/90
- - - POPs - AP 15,8 dtex/90
- · - POPs - AP 18,0 dtex/90
- · - - POPs - AP 23,2 dtex/90
- - - - POPs - D 35 dtex/90

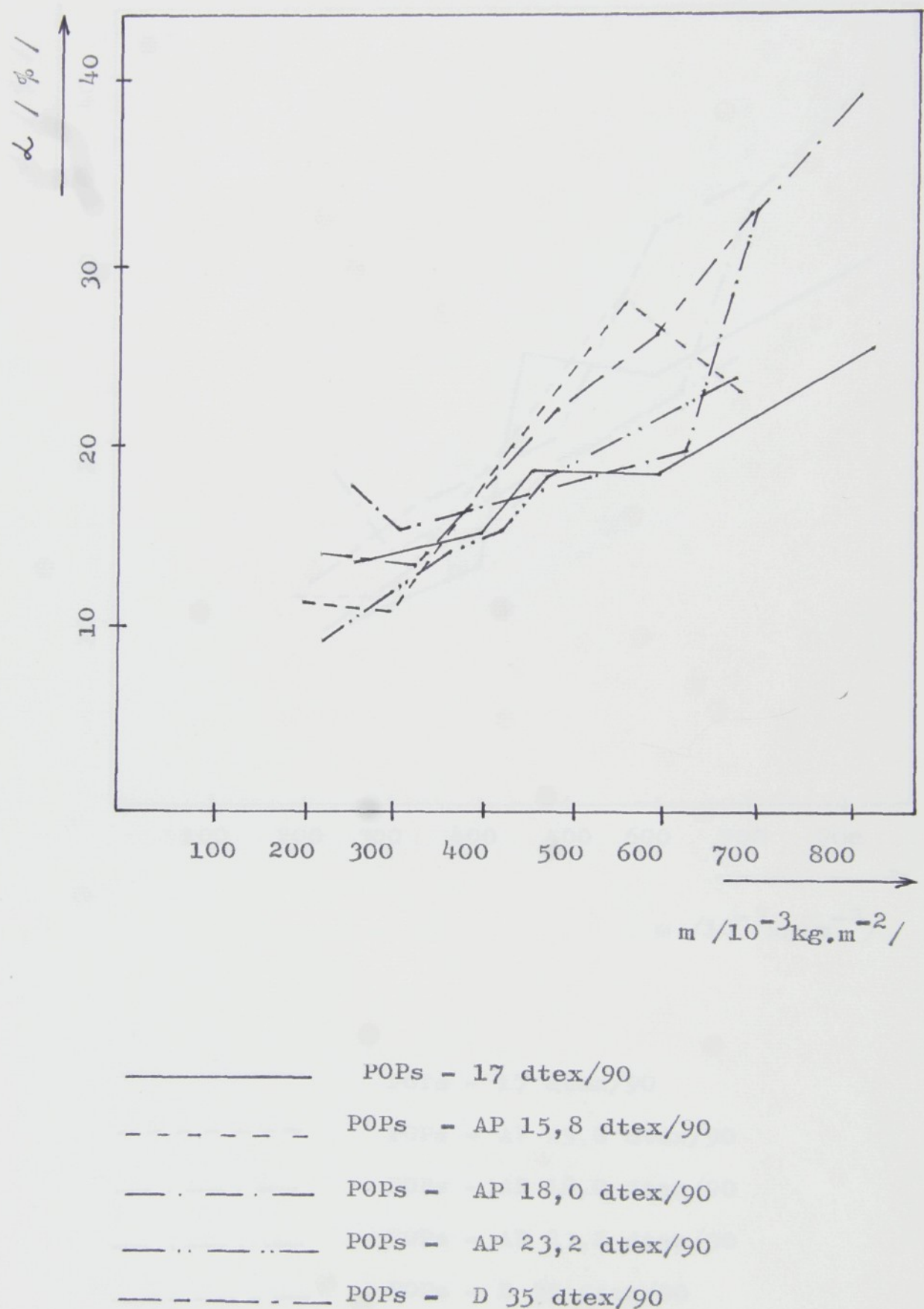
Graf č.10 Závislosť zvukovej pohltivosti na plošnej hmotnosti pre frekvenciu  $f = 500$  Hz



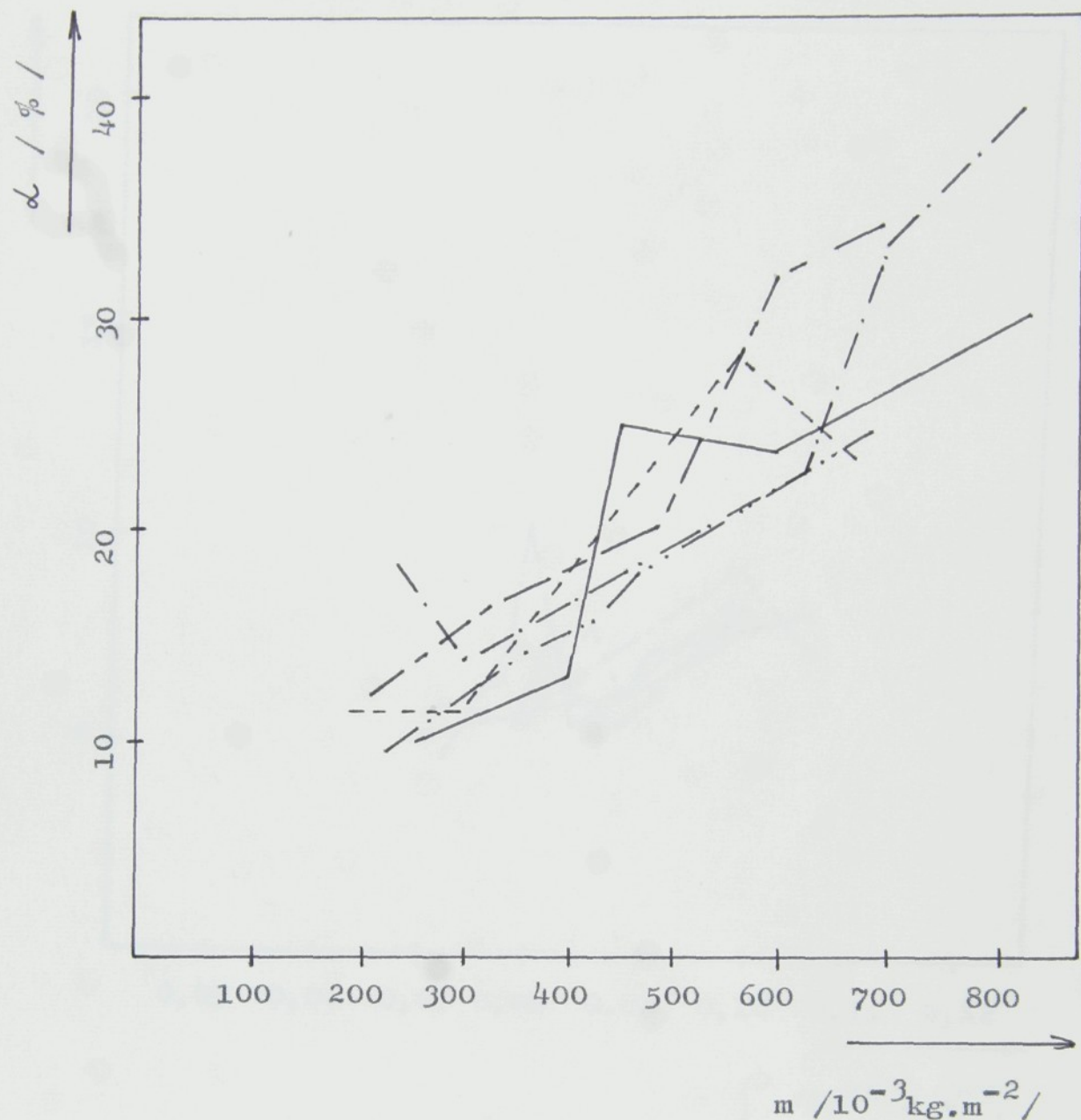
Graf č.11 Závislosť zvukovej pohltivosti na plošnej hmotnosti pre frekvenciu  $f = 1600$  Hz



Graf č.12 Závislosť zvukovej pohltivosti na plošnej hmotnosti pre frekvenciu  $f = 3150$  Hz

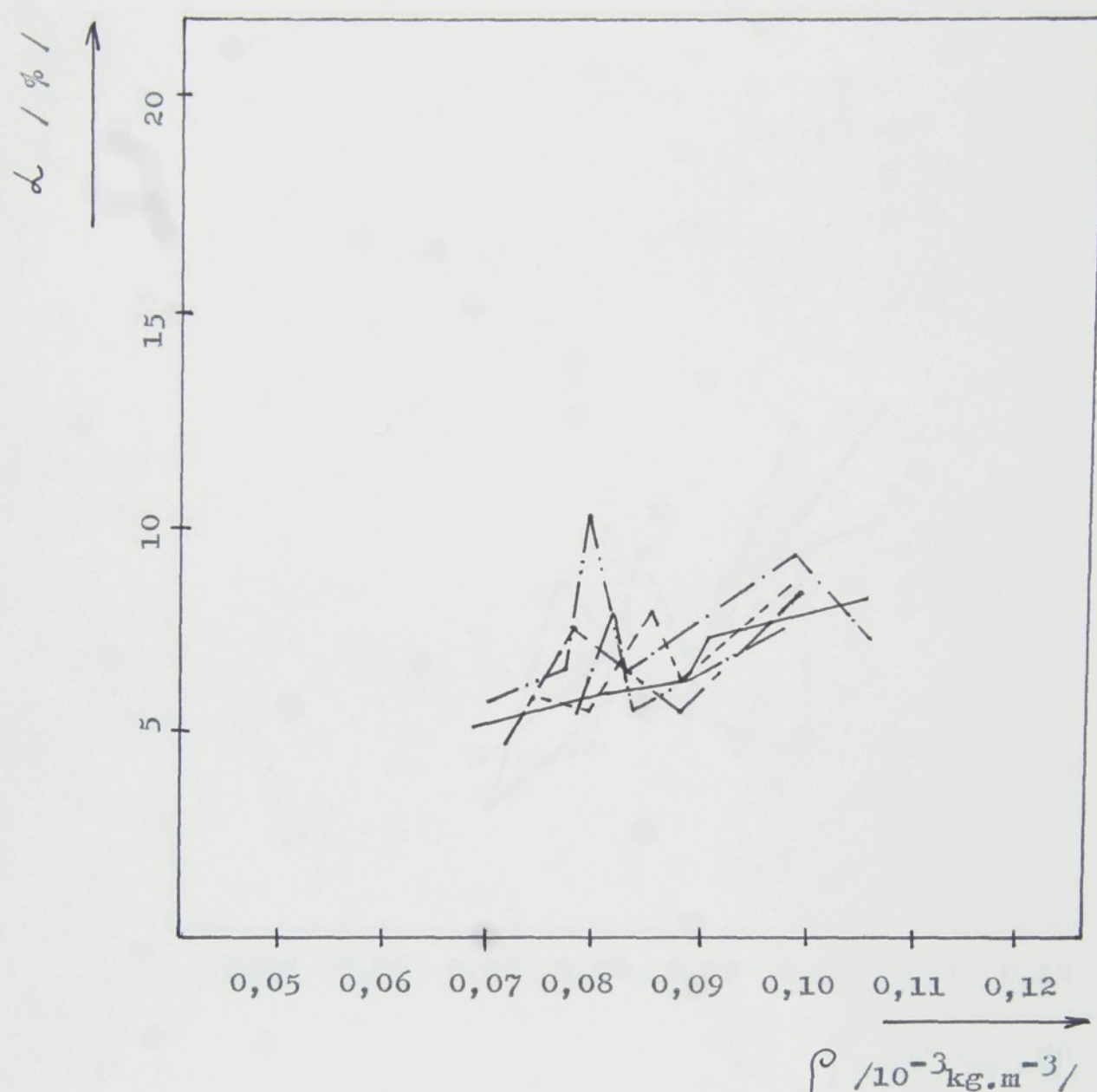


Grat č.13 Závislosť zvukovej pohltivosti na plošnej hmotnosti pre frekvenciu  $f = 4000$  Hz



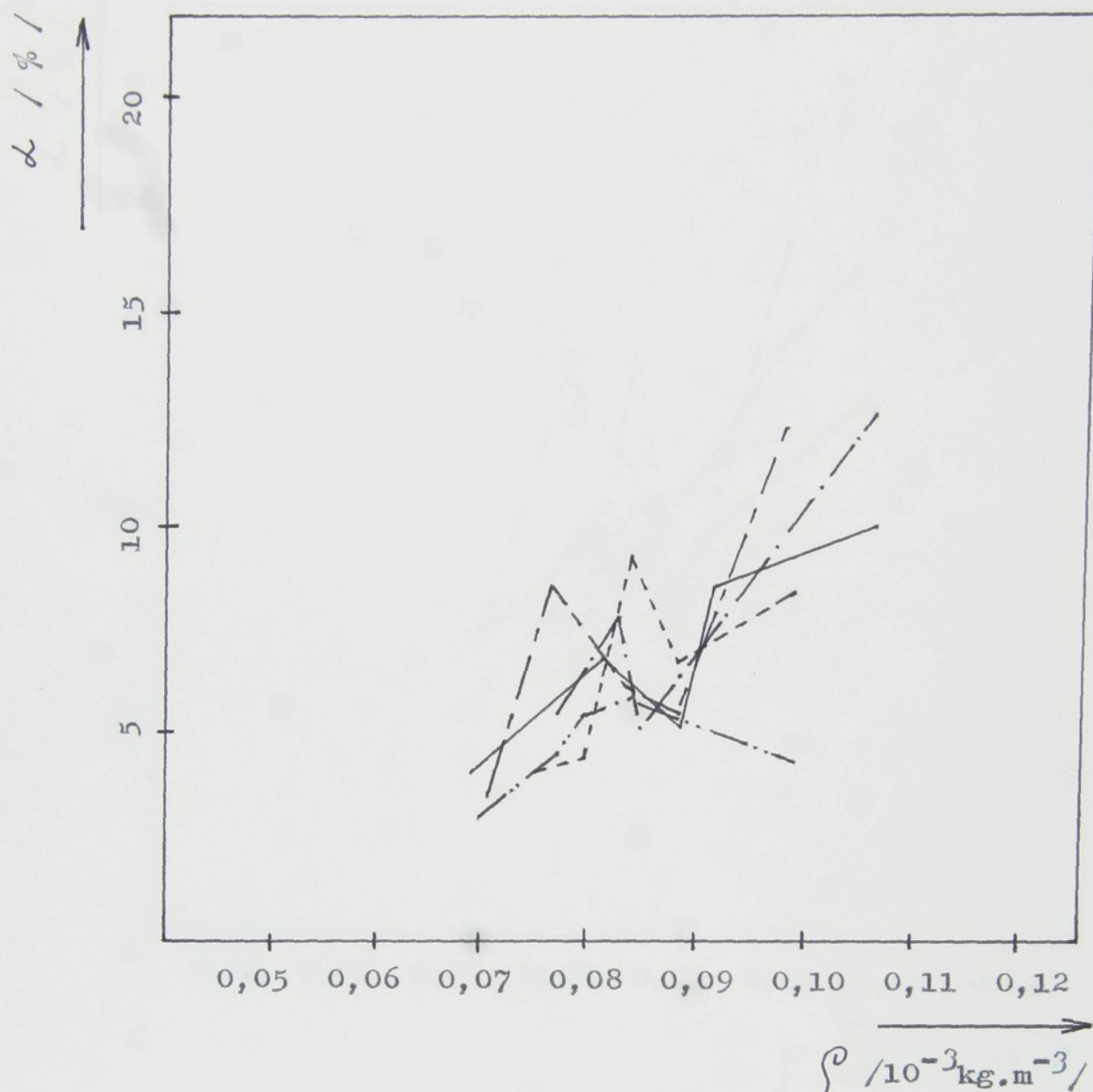
- POPs - 17 dtex/90
- - - POPs - AP 15,8 dtex/90
- · - · - POPs - AP 18,0 dtex/90
- · - · - POPs - AP 23,2 dtex/90
- - - - - POPs - D 35 dtex/90

Graf č.14 Závislosť zvukovej pohltivosti na objemovej hmotnosti pre frekvenciu  $f = 500$  Hz



- POPs - 17 dtex/90
- - - POPs - AP 15,8 dtex/90
- POPs - AP 18,0 dtex/90
- POPs - AP 23,2 dtex/90
- POPs - D 35 dtex/90

Graf č.15 Závislosť zvukovej pohltivosti na objemej hmotnosti pre frekvenciu  $f = 1600$  Hz



— POPs - 17 dtex/90

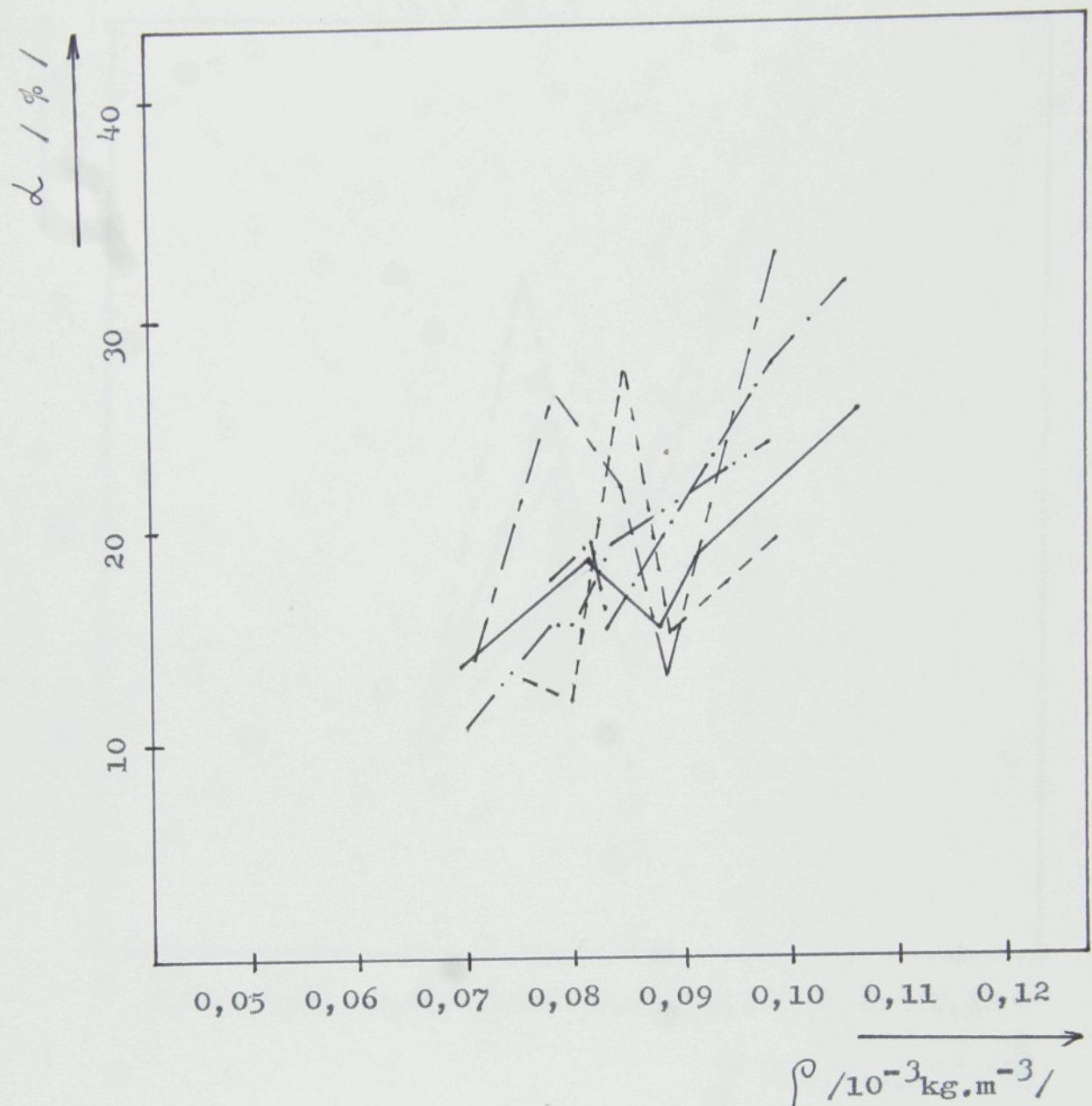
- - - POPs - AP 15,8 dtex/90

— · — POPs - AP 18,0 dtex/90

— .. — POPs - AP 23,2 dtex/90

— - - POPs - D 35 dtex/90

Graf č.16 Závislosť zvukovej polvitivosti na súčte  
movej hmotnosti pre frekvenciu  $f = 3150$  Hz



— POPs - 17 dtex/90

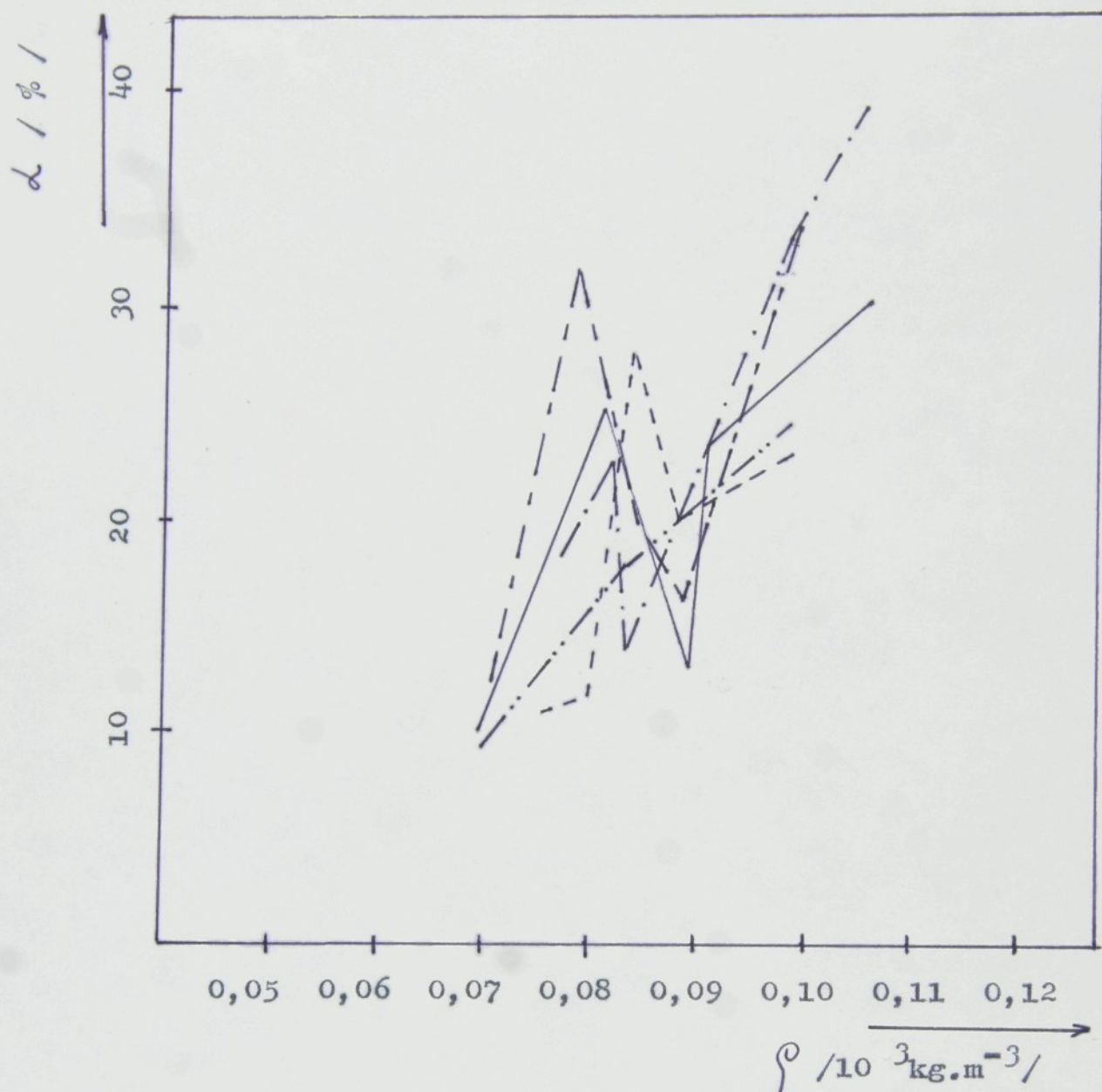
- - - POPs - AP 15,8 dtex/90

- · - POPs - AP 18,0 dtex/90

- · - · - POPs - AP 23,2 dtex/90

- - - - - POPs - D 35 dtex/90

Graf č.17 Závislosť zvukovej pohltivosti na objemovej hmotnosti pre frekvenciu  $f \leq 4000$  Hz



- POPs - 17 dtex/90
- - - POPs - AP 15,8 dtex/90
- · - POPs - AP 18,0 dtex/90
- ... - POPs - AP 23,2 dtex/90
- - - - - POPs - D 35 dtex/90